

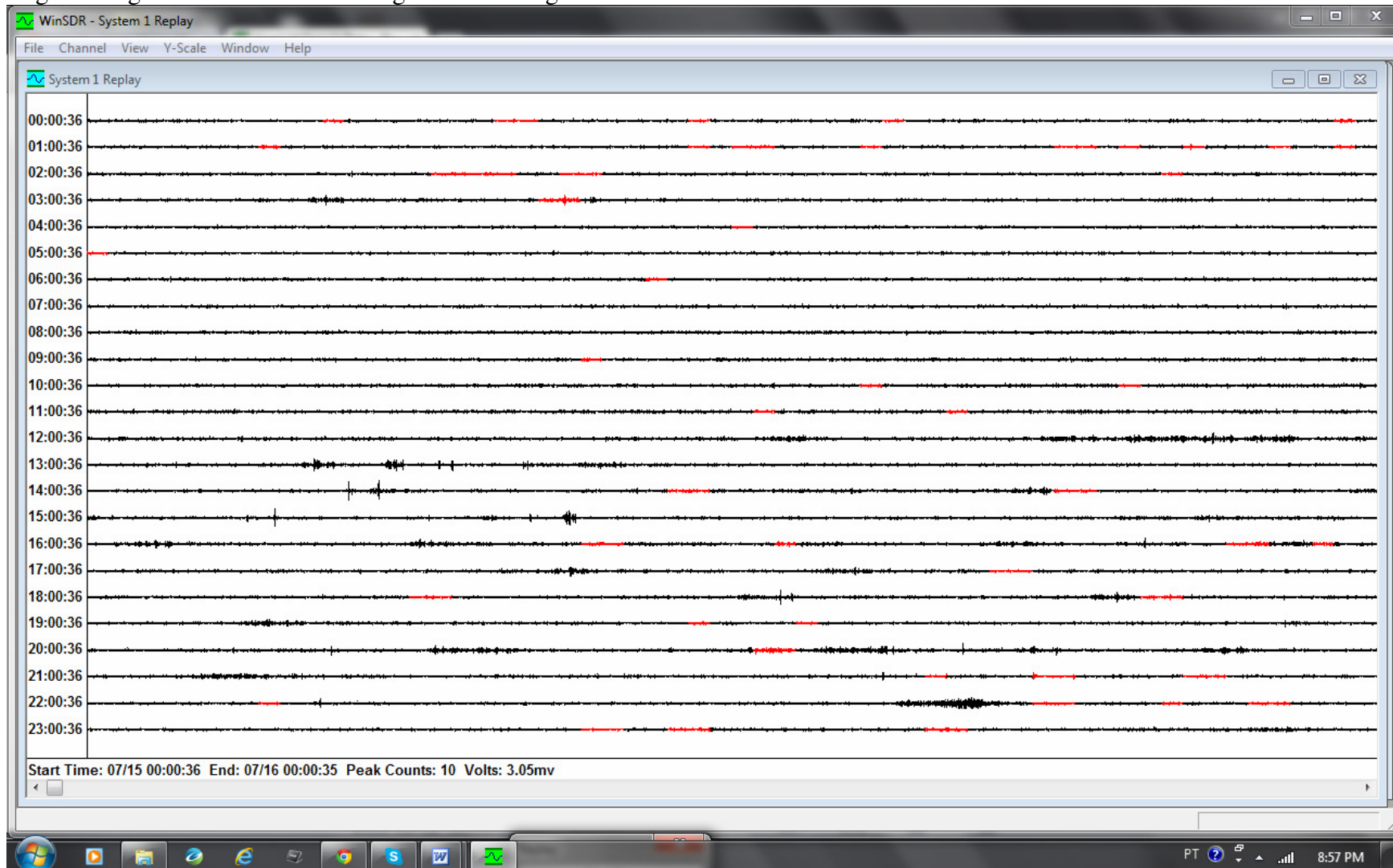
Apêndice

Outubro 2014 Registros das Estações

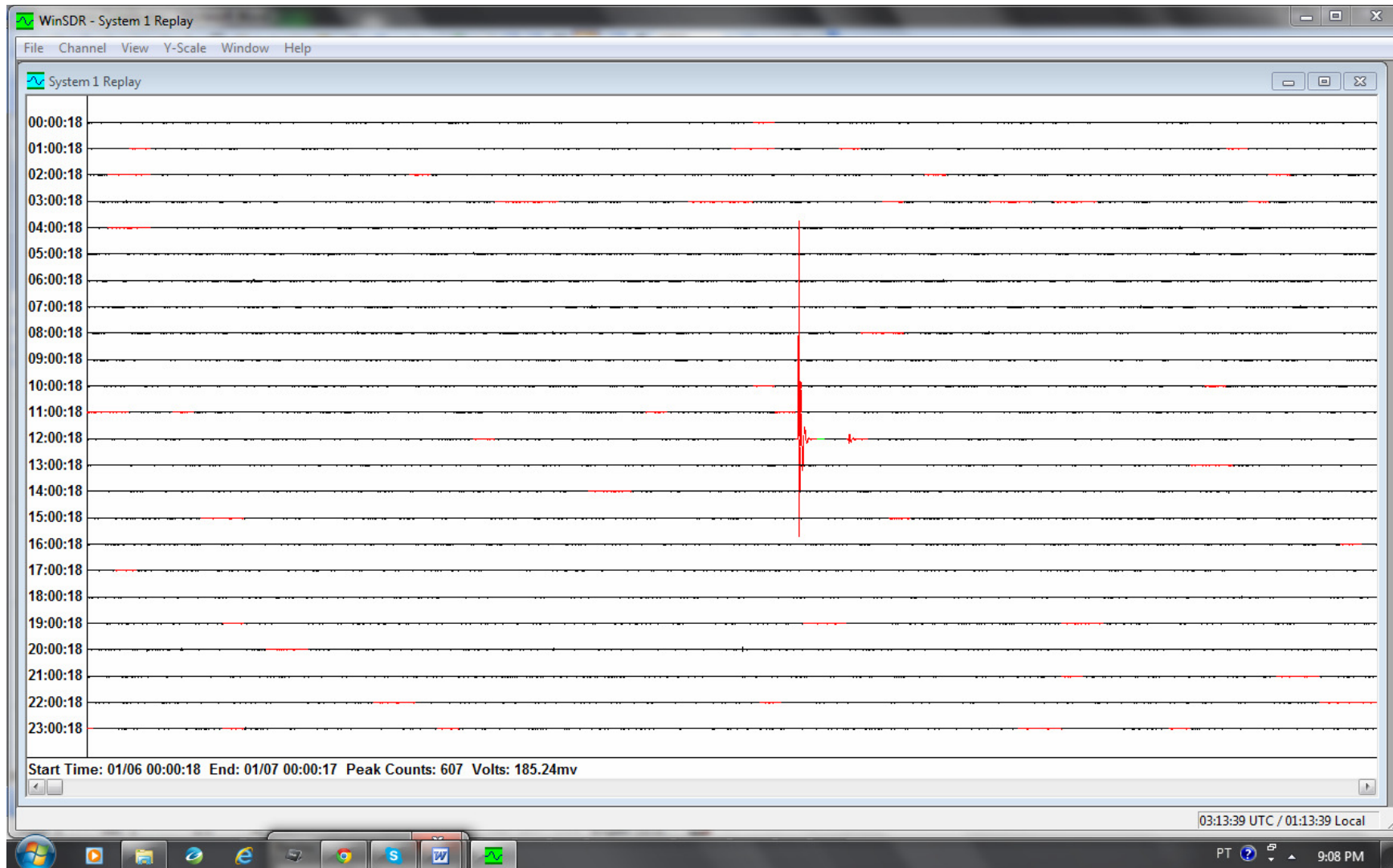
Observação

Todos os registros das estações SANT1 e SANT2 mostrados nesta seção foram filtrados com um filtro do tipo high-pass acima de 0.1 Hz.

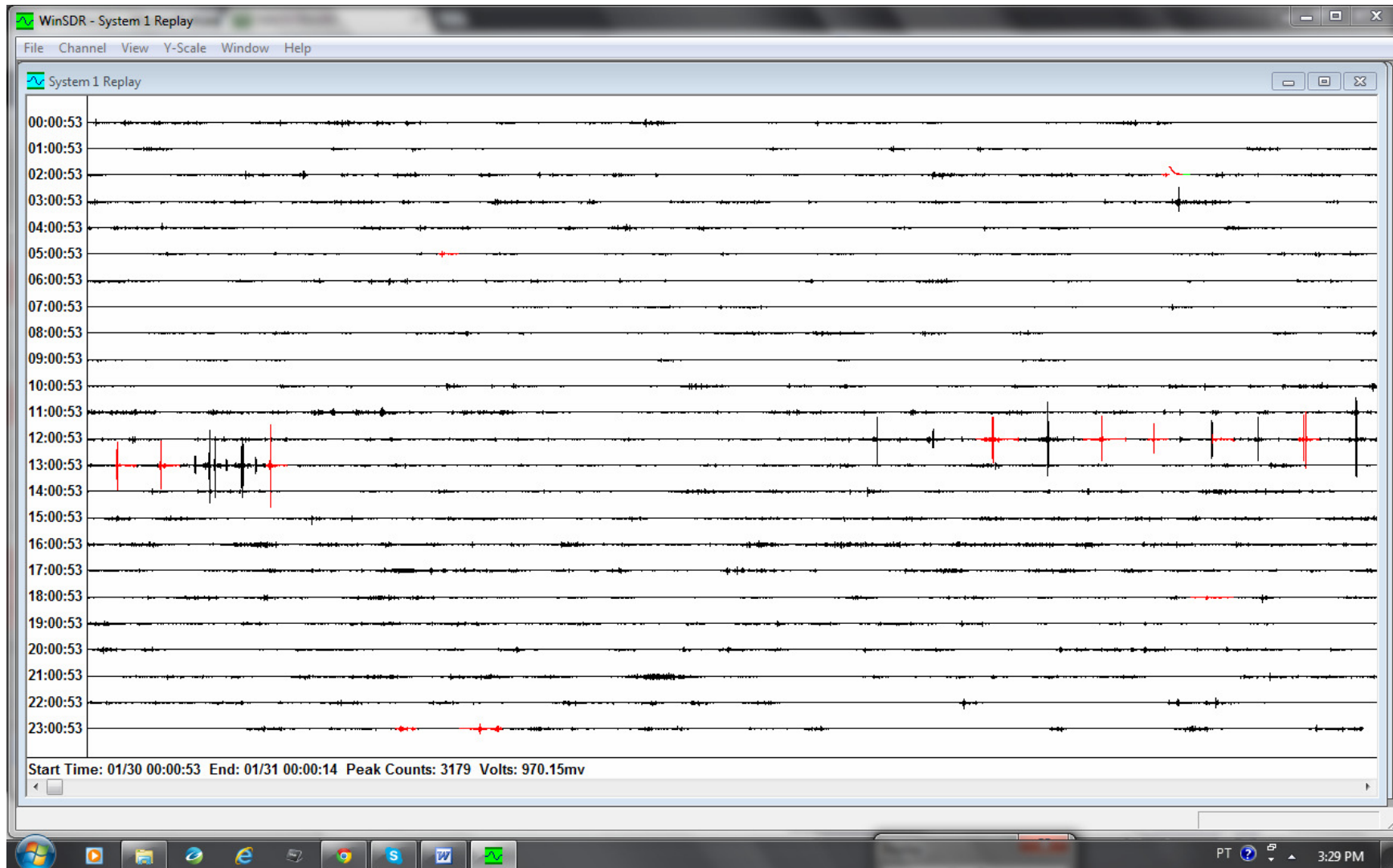
Registros significativos de SANT1 registrados no segundo semestre de 2013:



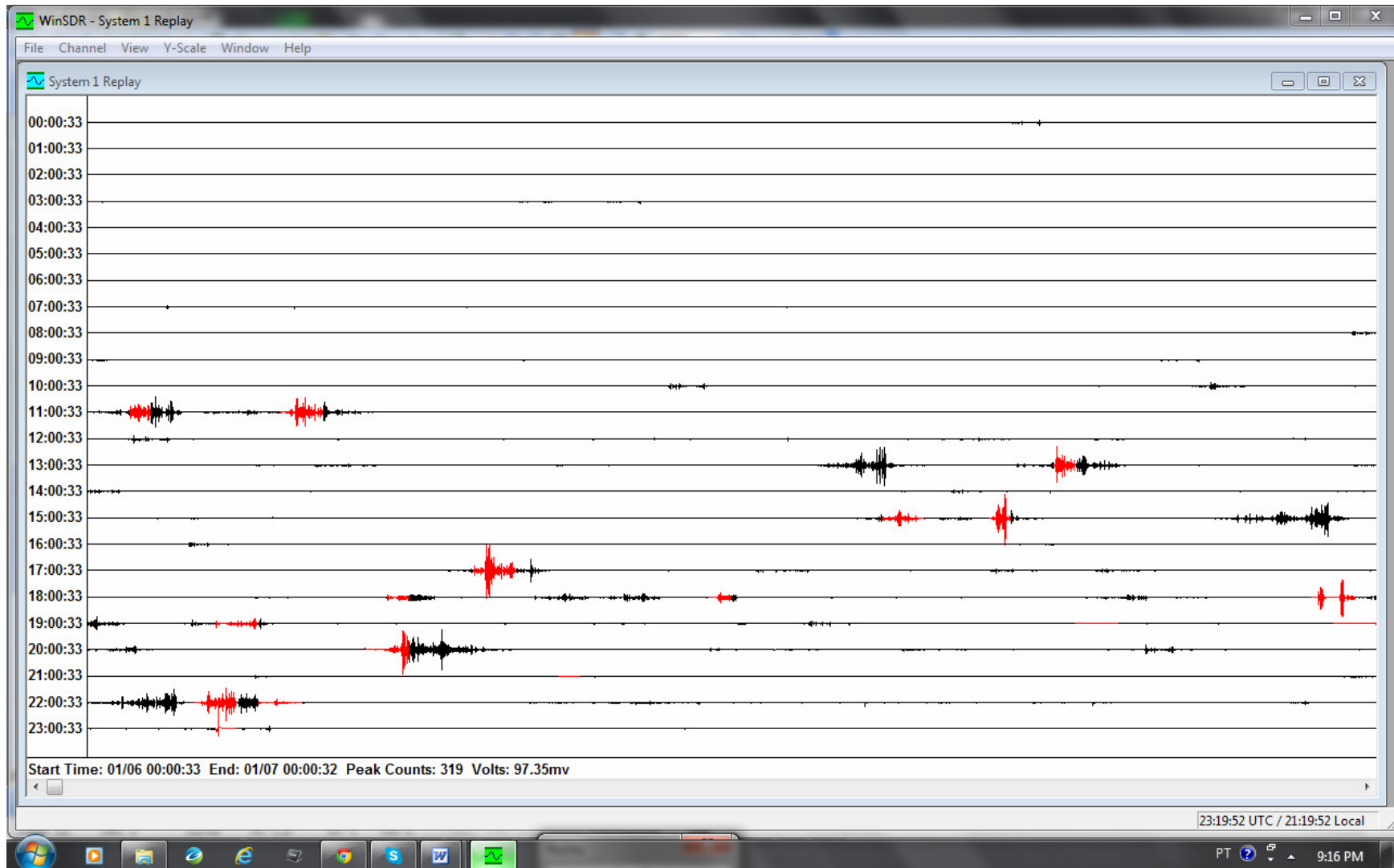
Telessismo: 2013-07-15 22:35:47.25 -9.902 -74.540 145.2 5.4 mb



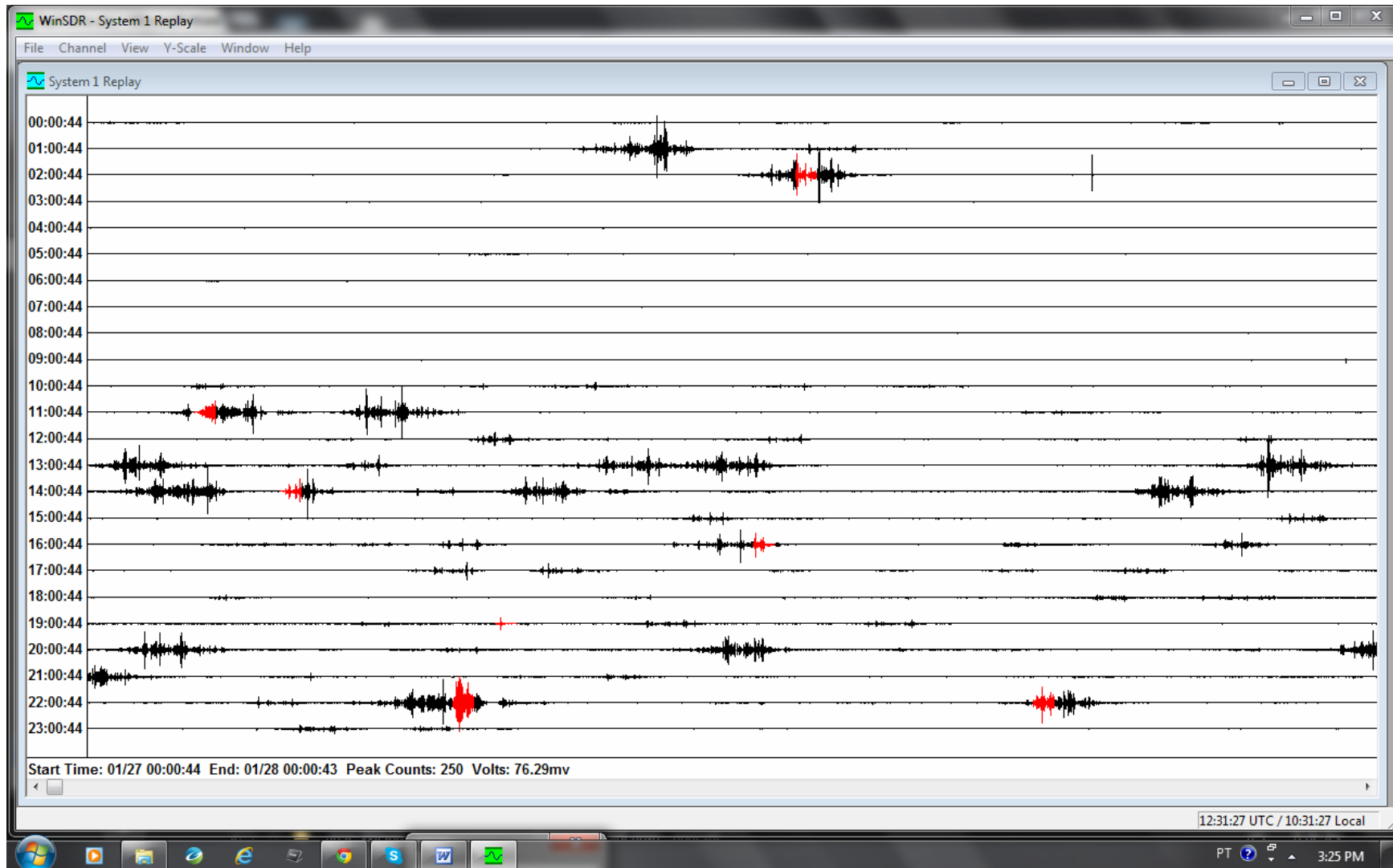
Registro de SANT1 do dia 06 de Janeiro de 2014. Provável episódio de ruído.



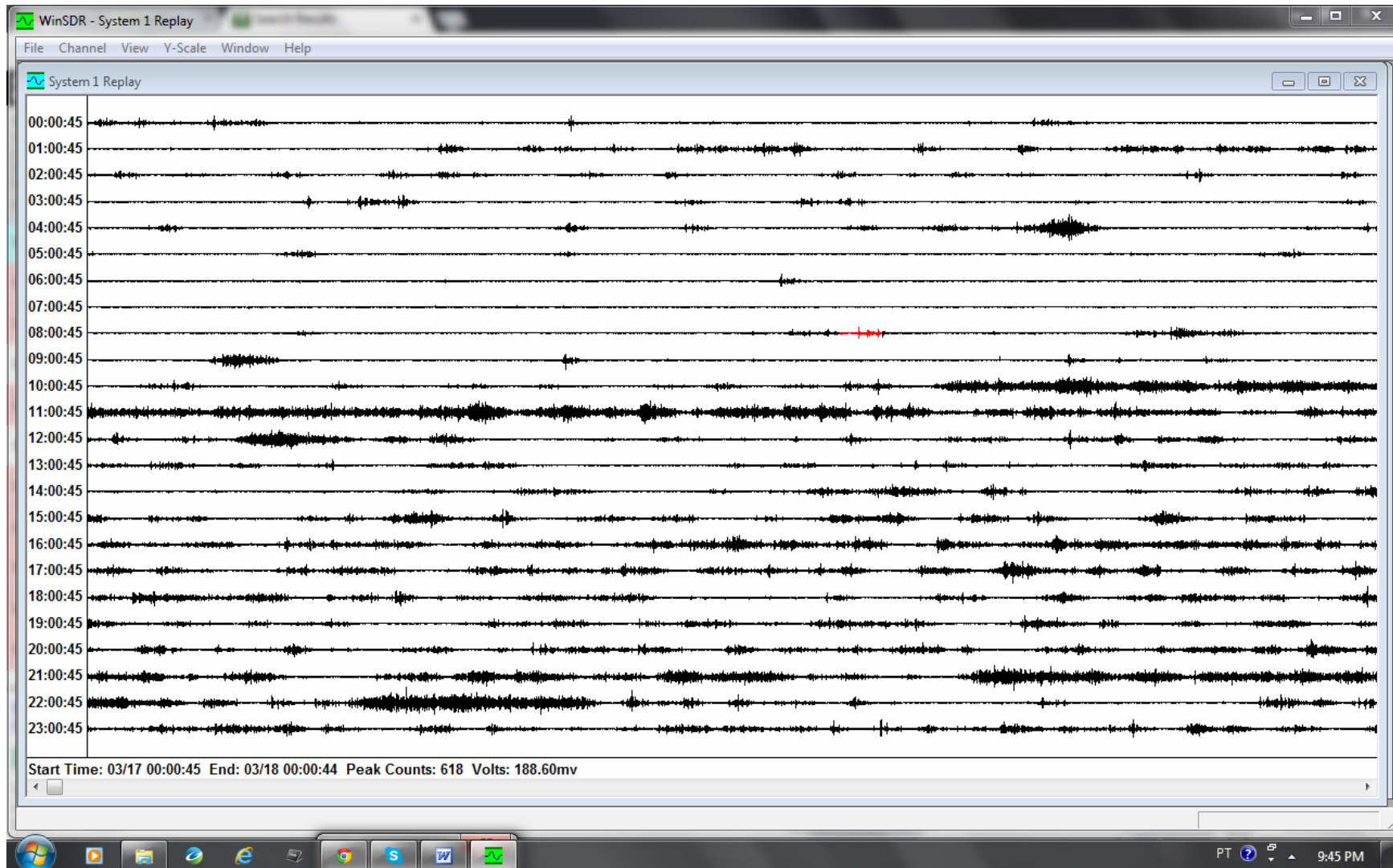
Registro de SANT1 do dia 30 de Janeiro de 2014. Provável episódio de ruído entre 12:30 e 13:10 GMT.



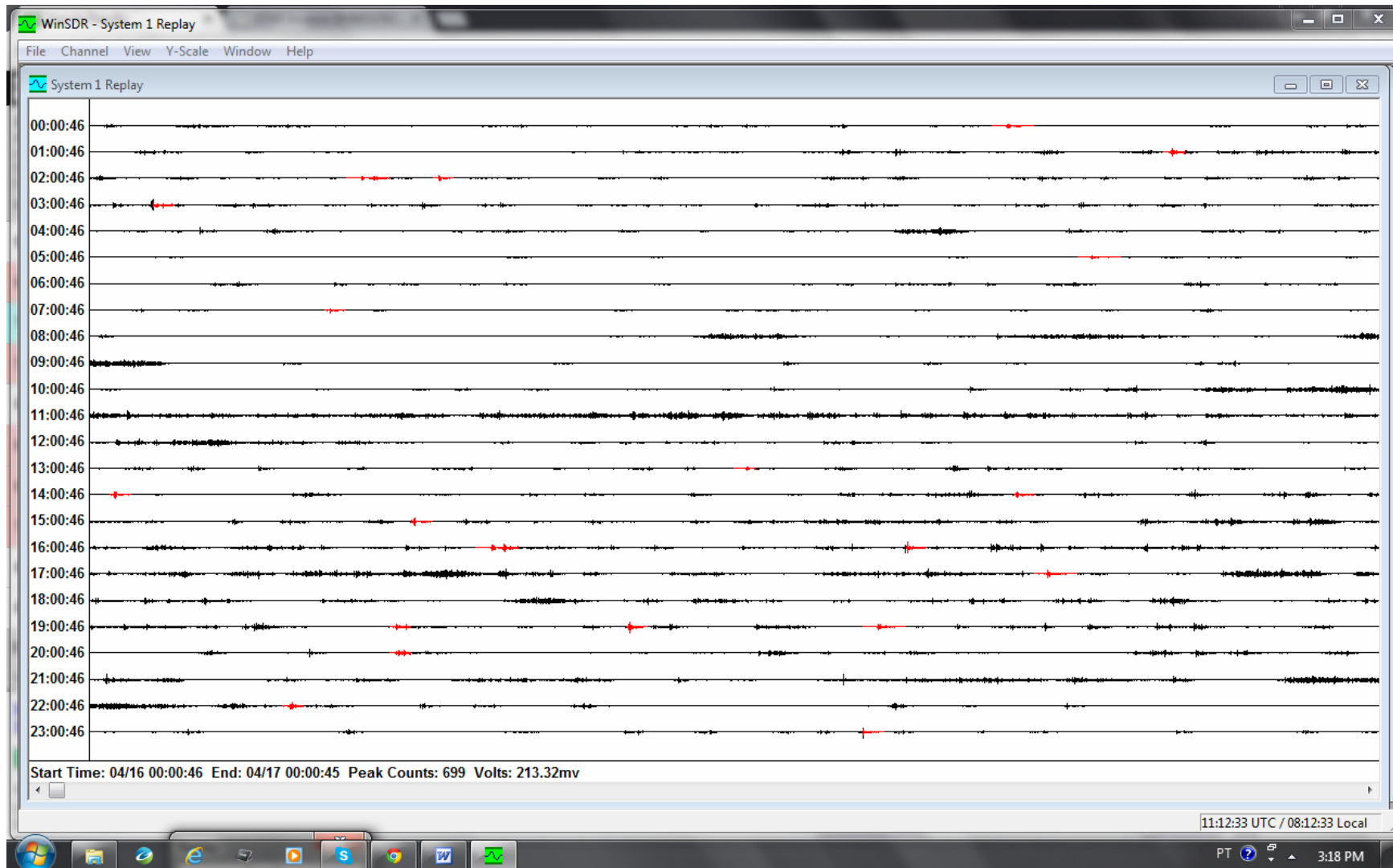
Registro de SANT2 do dia 6 de Janeiro de 2014. Nota-se a diferença no conteúdo de ruído durante o dia.



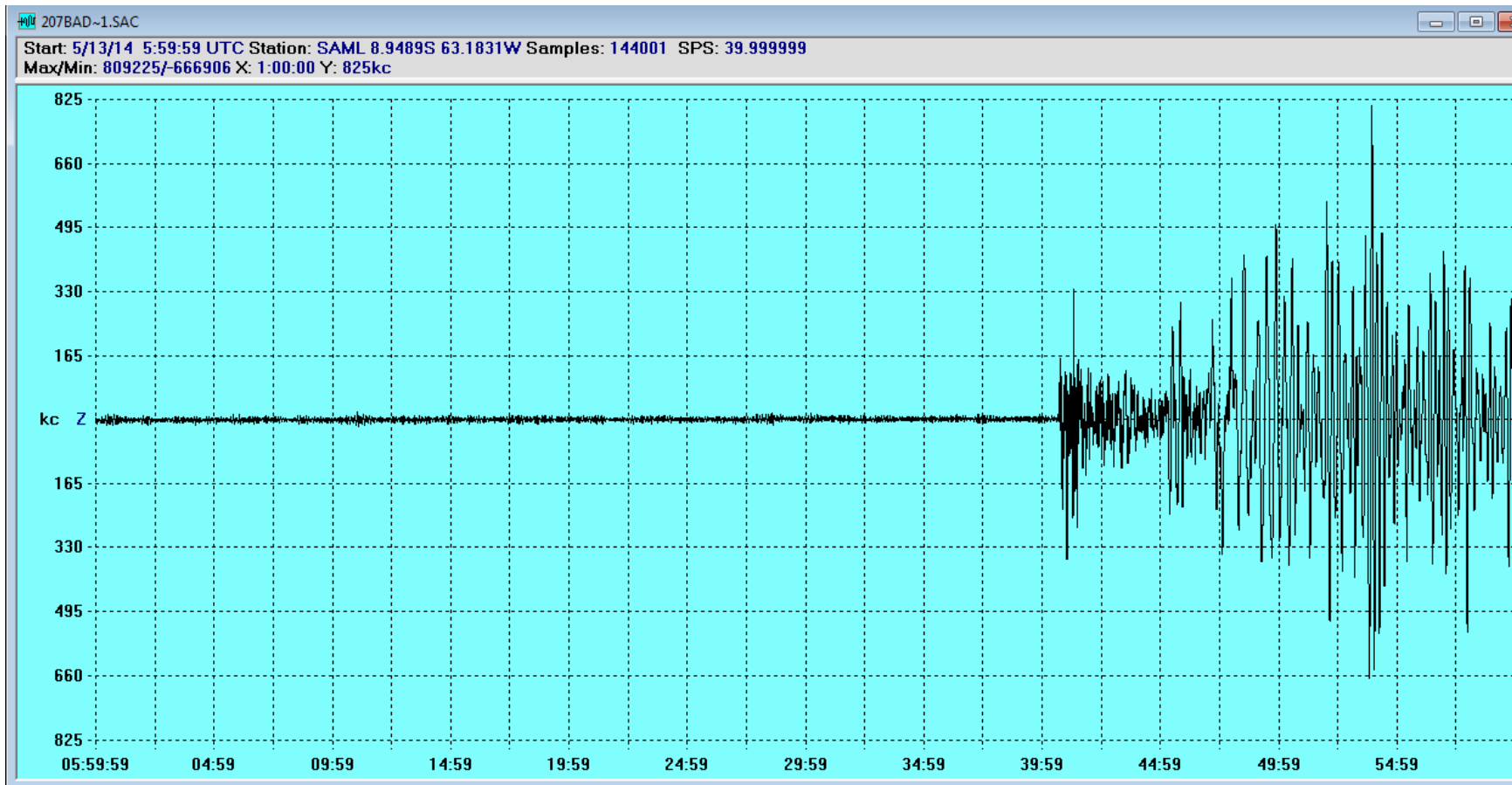
Registro de SANT2 do dia 27 de Janeiro de 2014. Nota-se a diferença no conteúdo de ruído durante o dia.



Registro do dia 17 de Março de 2014 - sismograma não filtrado - estação SANT1.



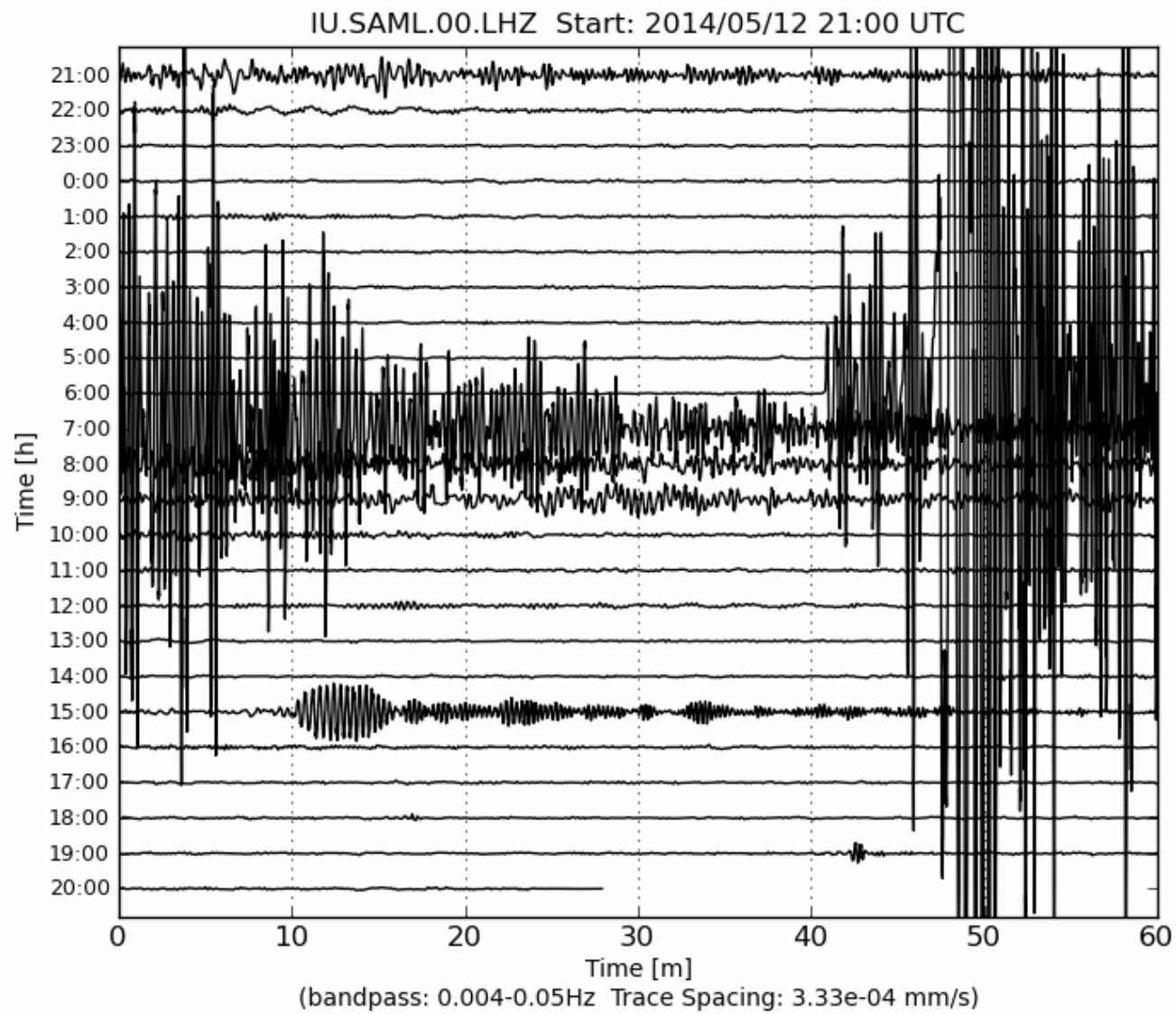
Registro do dia 16 de Abril de 2014 - sismograma não filtrado - estação SANT1.



Sismograma não filtrado – dia 13 de Maio de 2014 – 6:00hs. GMT

Telessismo: 2014-05-13 03:35:24 UTC-03:00 Location 7.216°N 82.328°W Depth 10.0km – Panamá.

Sismograma correspondente ao anterior, no sistema helicorder do USGS:



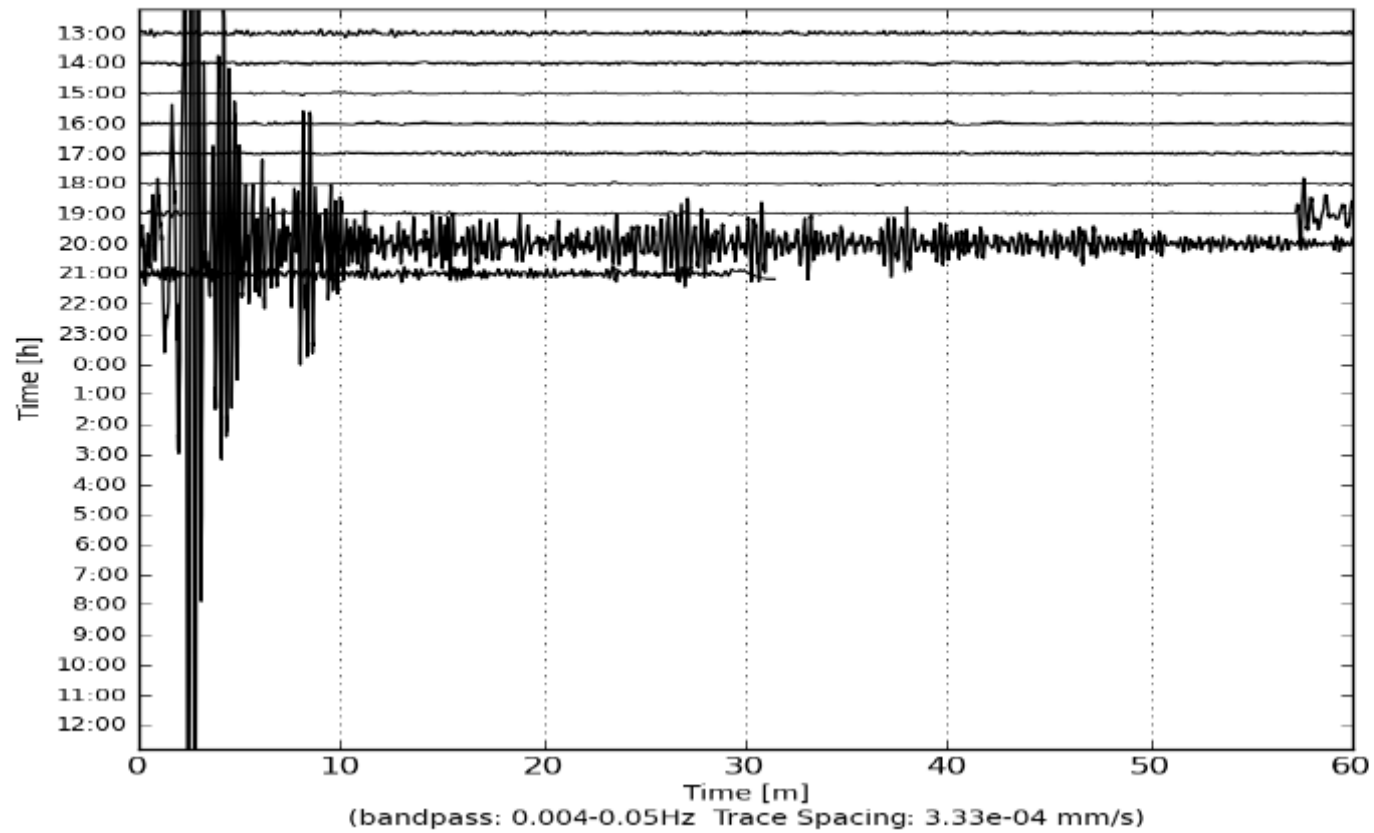
Sismograma correspondente ao anterior, no sistema helicorder do USGS:

Data from station SAML (Samuel, Brazil)

last updated at

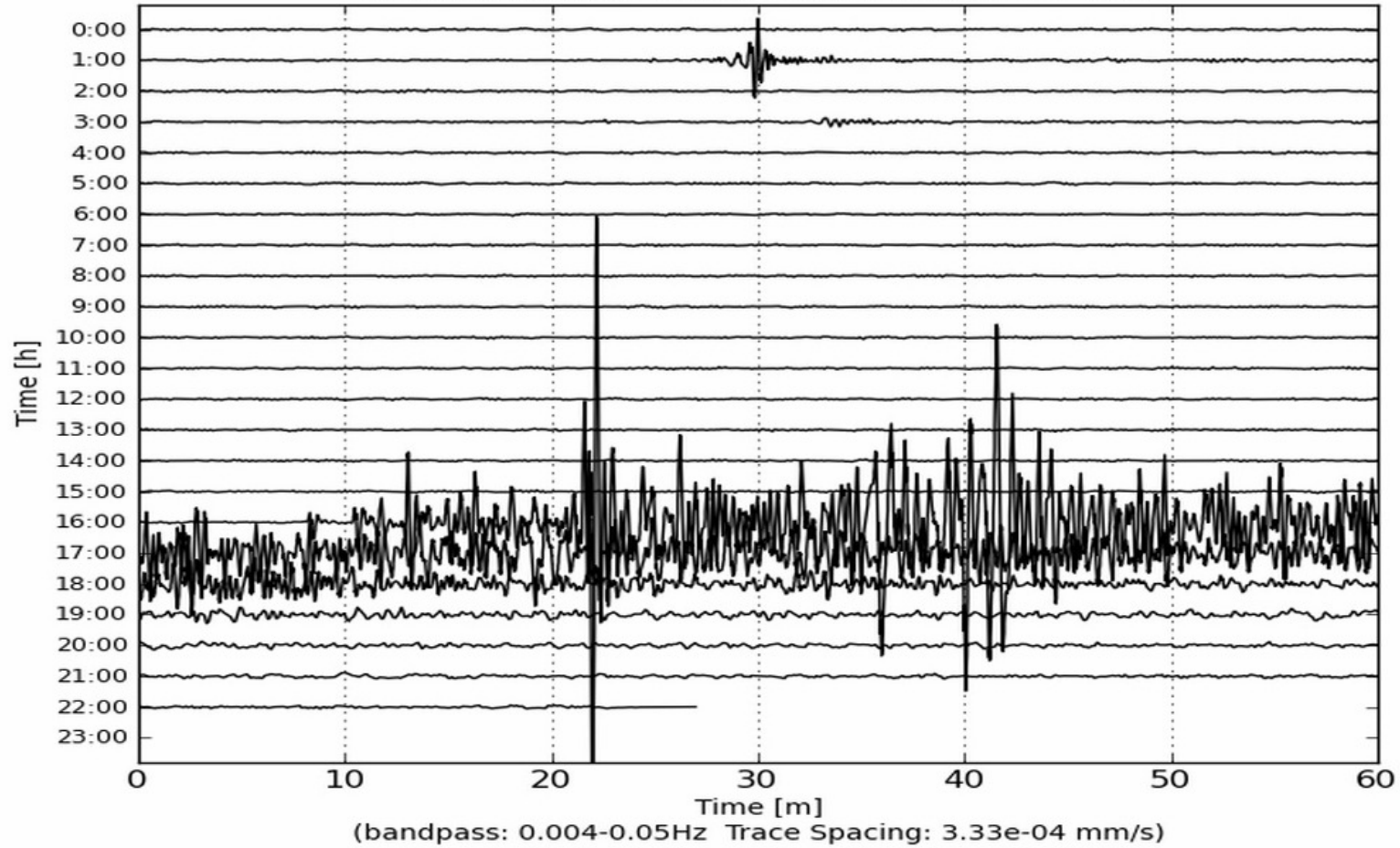
Fri 06/20/14 06:07 MDT (Fri 06/20/14 12:07 UTC)

IU.SAML.00.LHZ Start: 2014/06/19 13:00 UTC

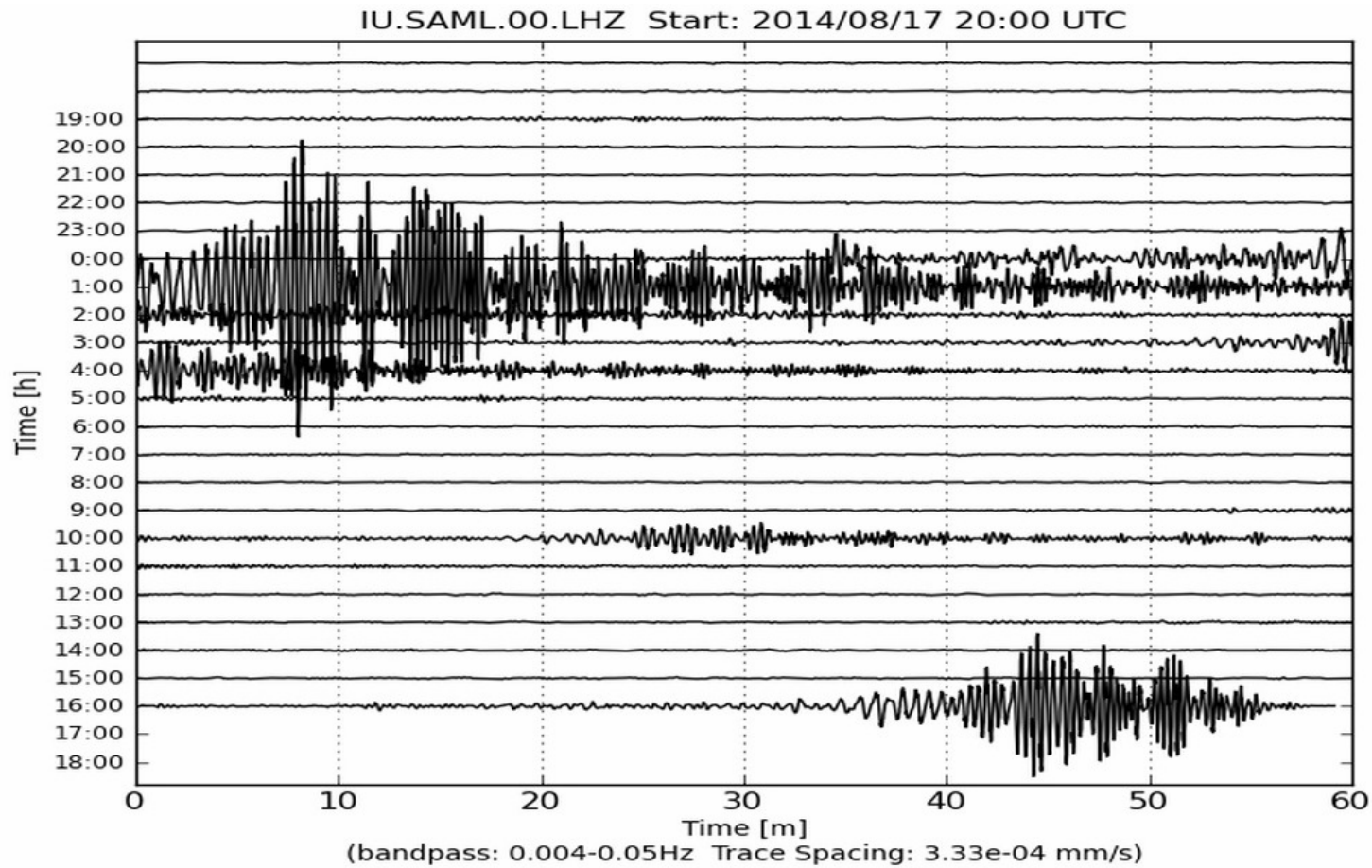


Mon 07/21/14 16:07 MDT (Mon 07/21/14 22:07 UTC)

IU.SAML.00.LHZ Start: 2014/07/20 23:00 UTC



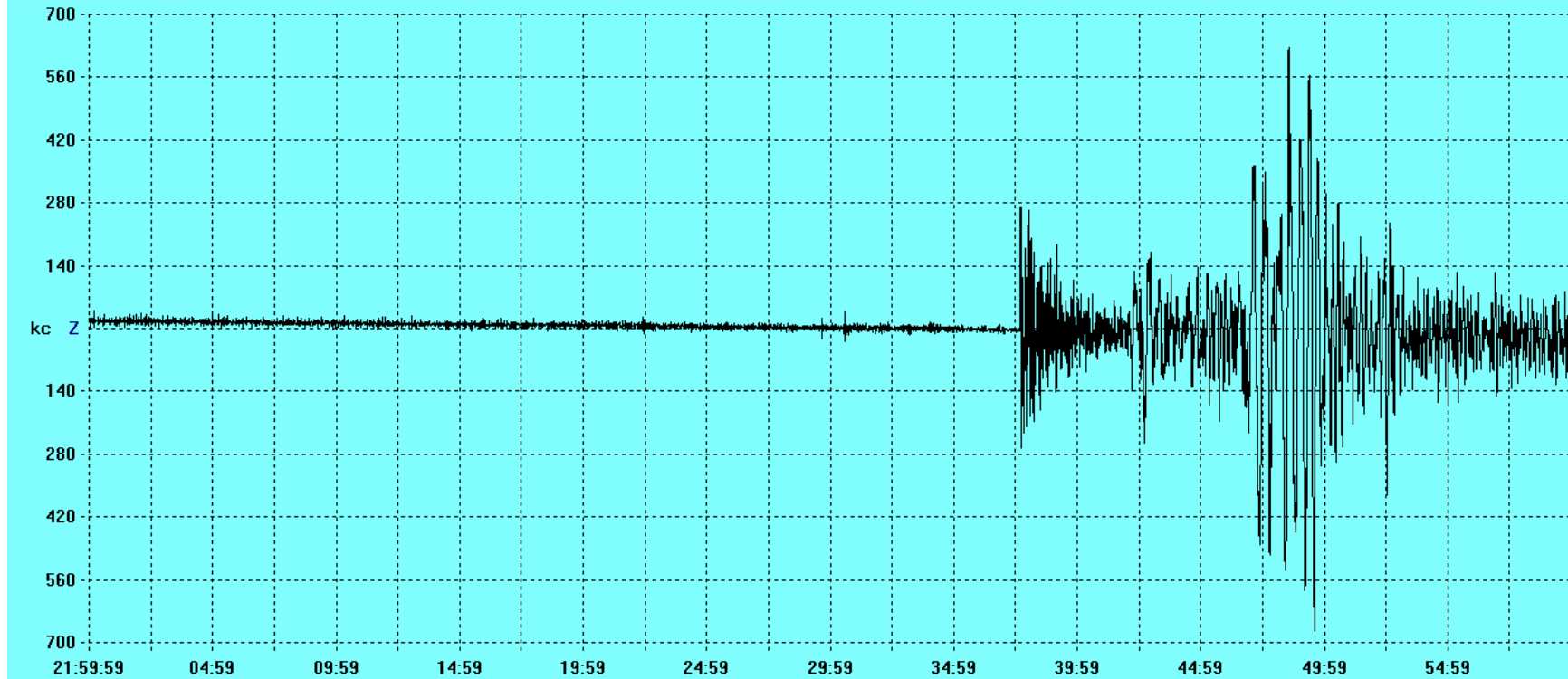
Registro de SAML do dia 21 de Julho de 2014: Telessismo ocorrido nas Ilhas Fiji (Oceano Pacífico):
2014-07-21 14:54:41 UTC Location 19.829°S 178.464°W Depth 616.4km Magnitude 6.9



Registro de SAML do dia 18 de Agosto de 2014: Telessismo ocorrido no Iran:
2014-08-18 02:32:05 Location 32.739°N 47.670°E Depth 10.0km Magnitude 6.2

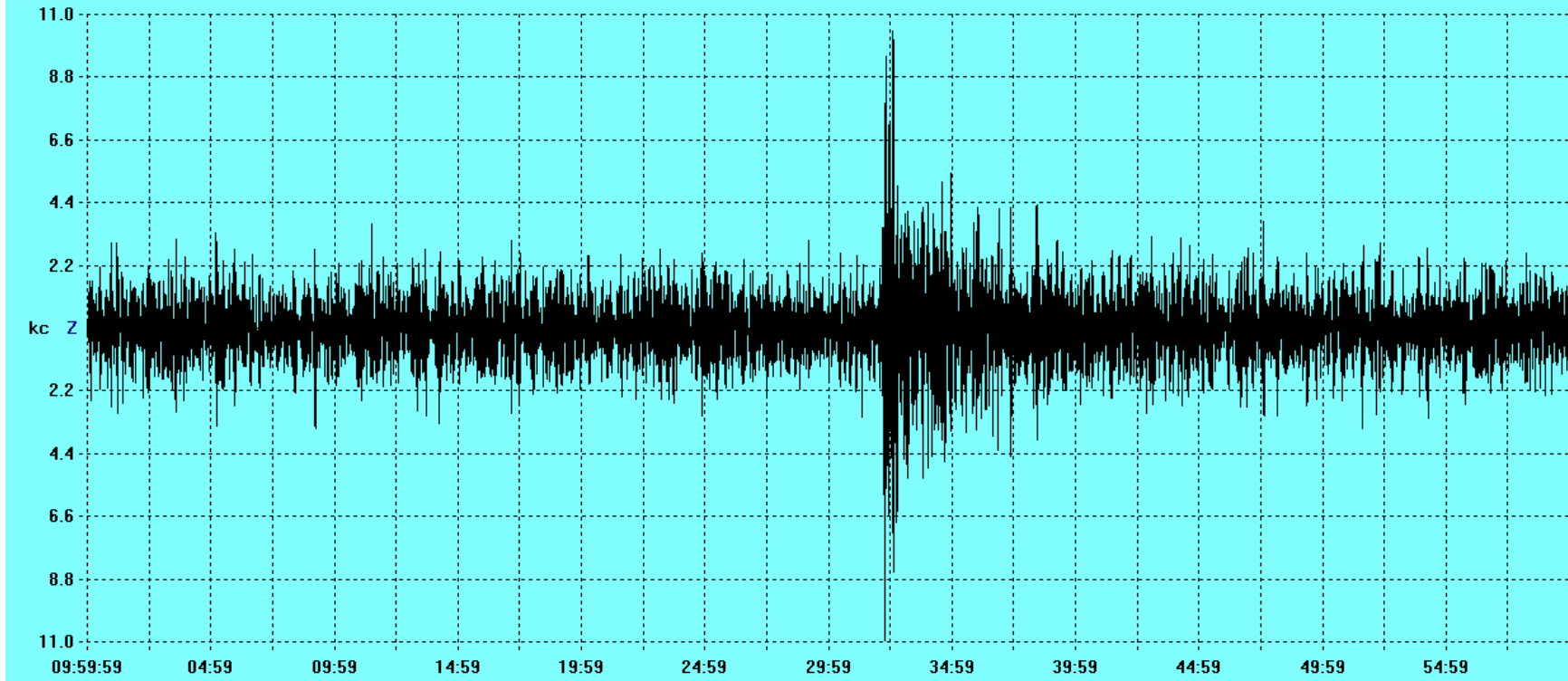
O sismograma a seguir não foi filtrado:

Start: 8/23/14 21:59:59 UTC Station: SAML 8.9489S 63.1831W Samples: 144001 SPS: 39.999999
Max/Min: 626998/-675168 X: 1:00:00 Y: 700kc



Telessismo ocorrido no Chile: 2014-08-23 22:32:23 Location 32.695°S 71.442°W Depth 32.0km Mag. 6.4

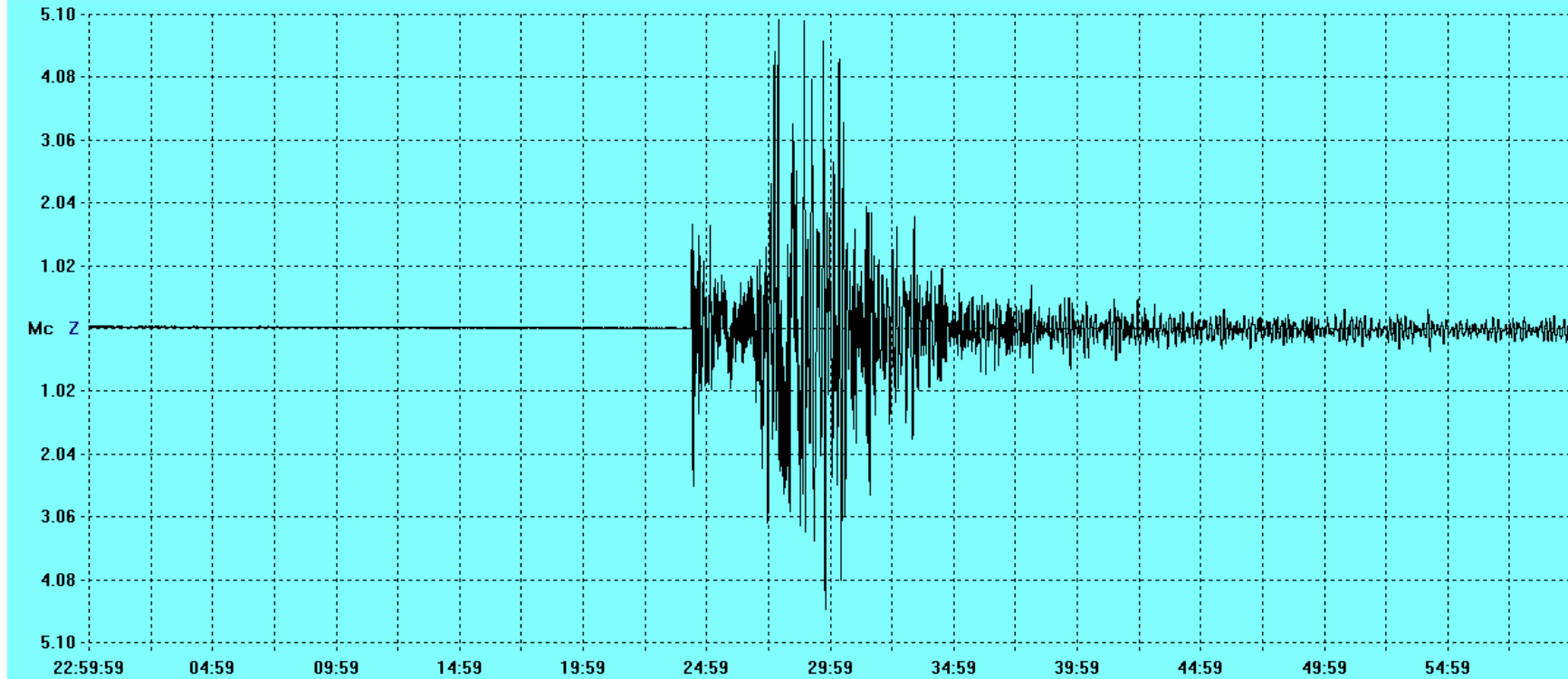
Start: 8/24/14 9:59:59 UTC Station: SAML 8.9489S 63.1831W Samples: 144001 SPS: 39.999999
Max/Min: 10425/-10967 X: 1:00:00 Y: 11kc



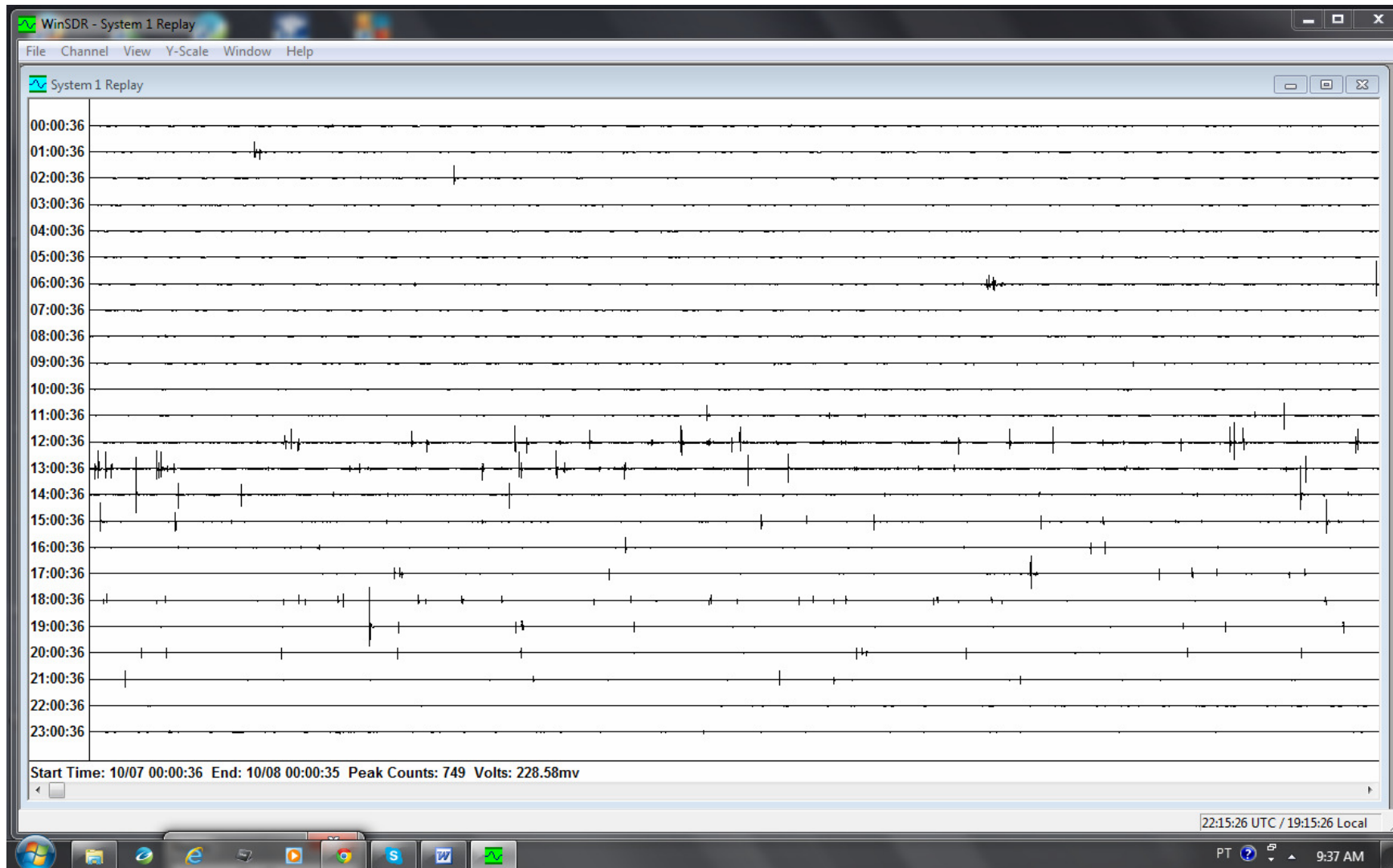
Telessismo na California: 2014-08-24 10:20:44 Location 38.215°N 122.312°W Depth 11.3km Mag. 6.0

O sismograma a seguir não foi filtrado:

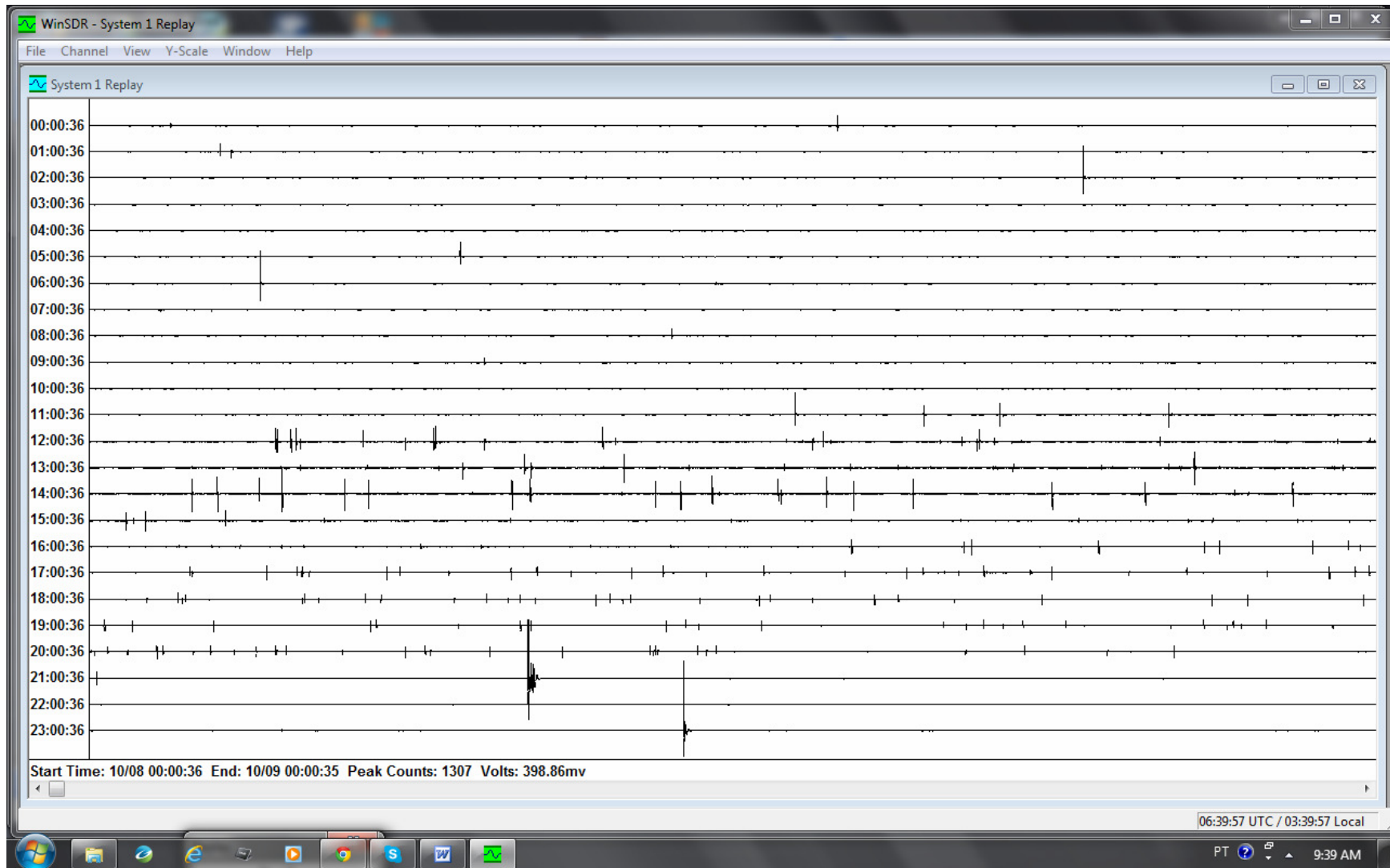
Start: 8/24/14 22:59:59 UTC Station: SAML 8.9489S 63.1831W Samples: 144001 SPS: 39.999999
Max/Min: 5013155/-4573058 X: 1:00:00 Y: 5.1Mc



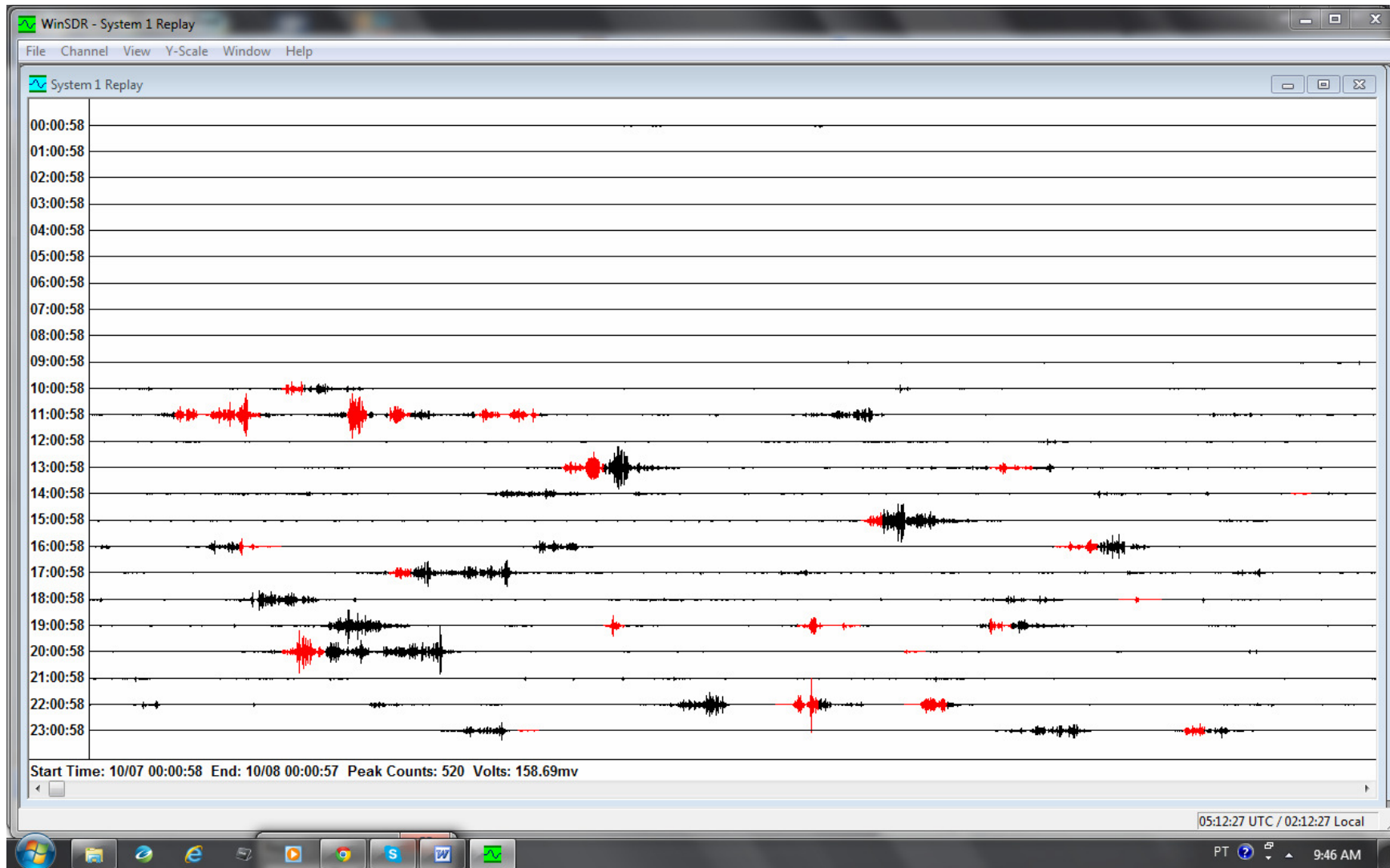
Telessismo ocorrido no Peru: 2014-08-24 20:21:45 Location 14.598°S 73.570°W Depth 101.0km Mag. 6.8



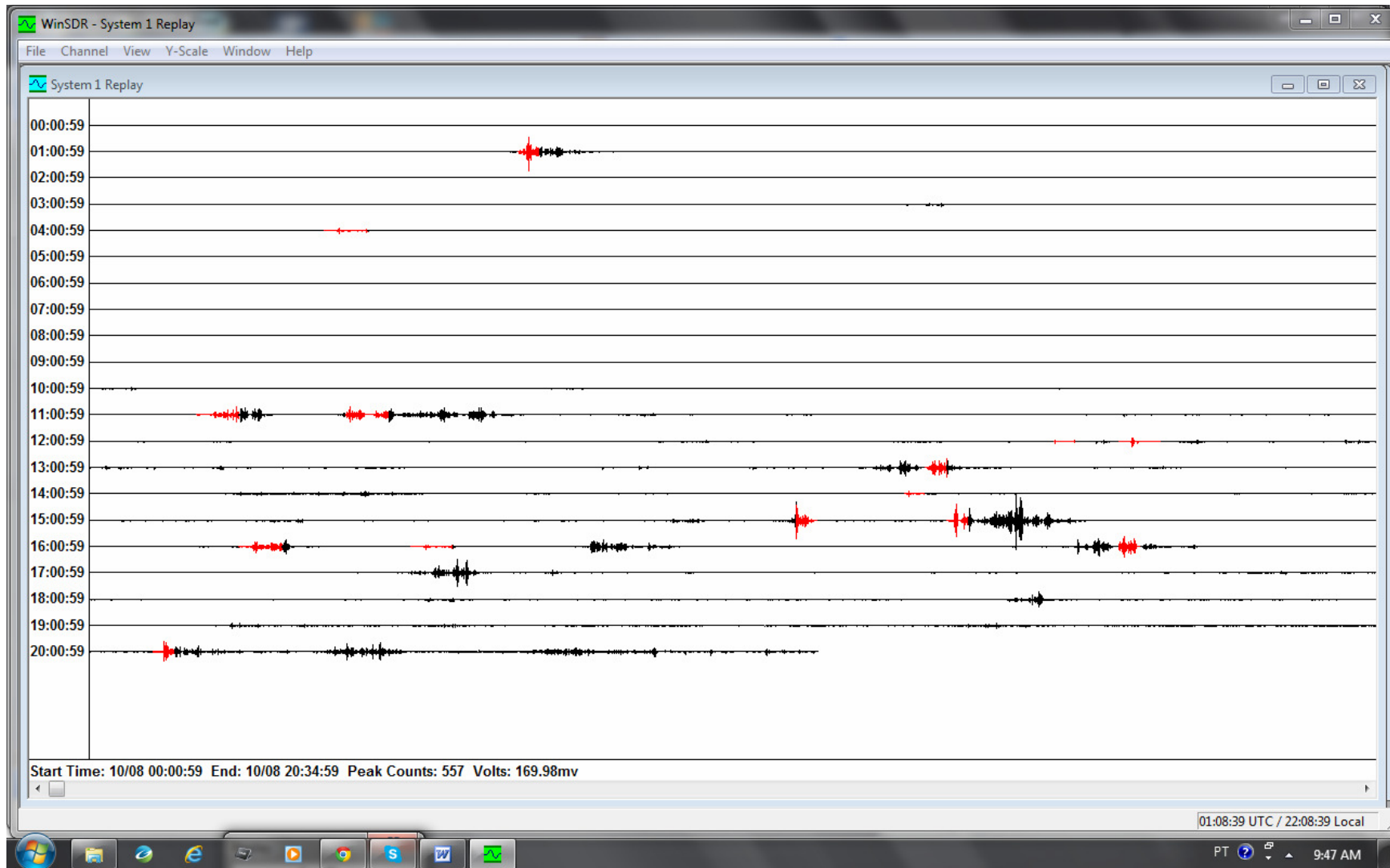
Registro filtrado (bandpass entre 0.1 e 2.0 Hz) da estação SANT1, do dia 7 de Outubro de 2014 (segunda-feira).



Registro filtrado (bandpass entre 0.1 e 2.0 Hz) da estação SANT1, do dia 8 de Outubro de 2014 (terça-feira).



Registro não filtrado da estação SANT2, do dia 7 de Outubro de 2014 (segunda-feira).



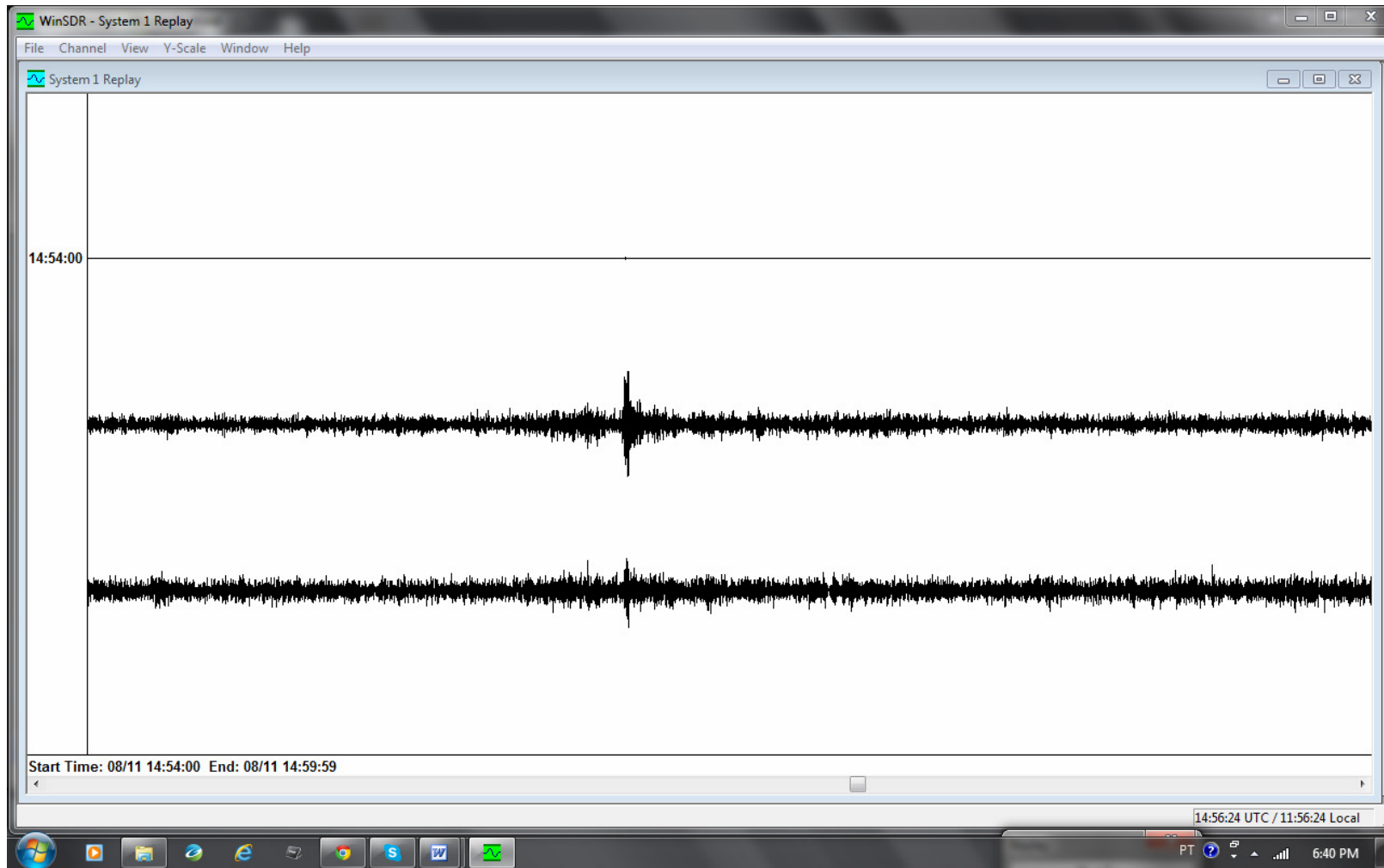
Registro não filtrado da estação SANT2, do dia 8 de Outubro de 2014 (terça-feira).

Sismo Regional Registrado em Agosto de 2013:

Sismo a SSW de Redenção, PA



Sismo Regional: 11 de Agosto de 2013 14:53:54 -8.319 -50.243 Prof.15.6km Mag 4.0 (SSW de Redenção, Estado do Pará). Registro do Canal 1 (componente vertical).

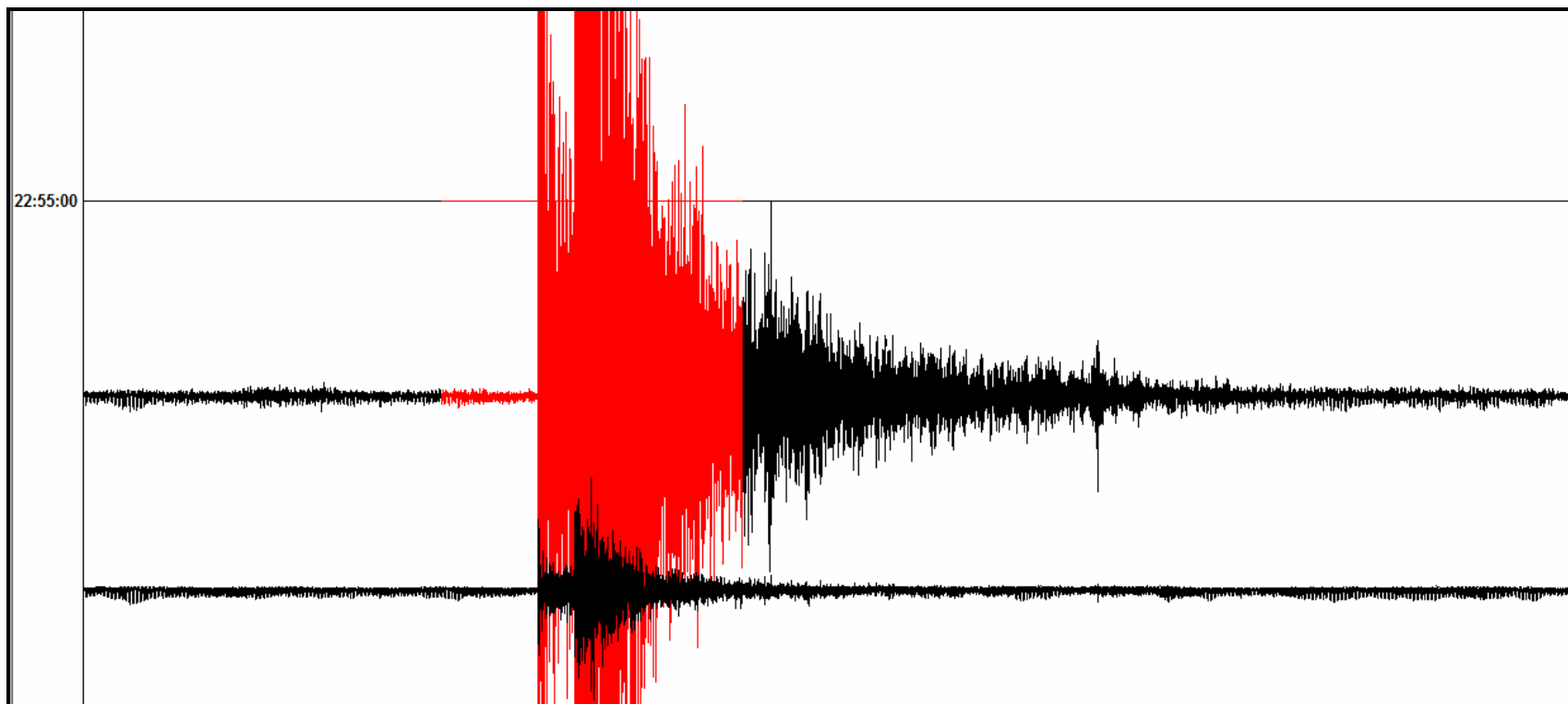


Registros dos canais 2 e 3.

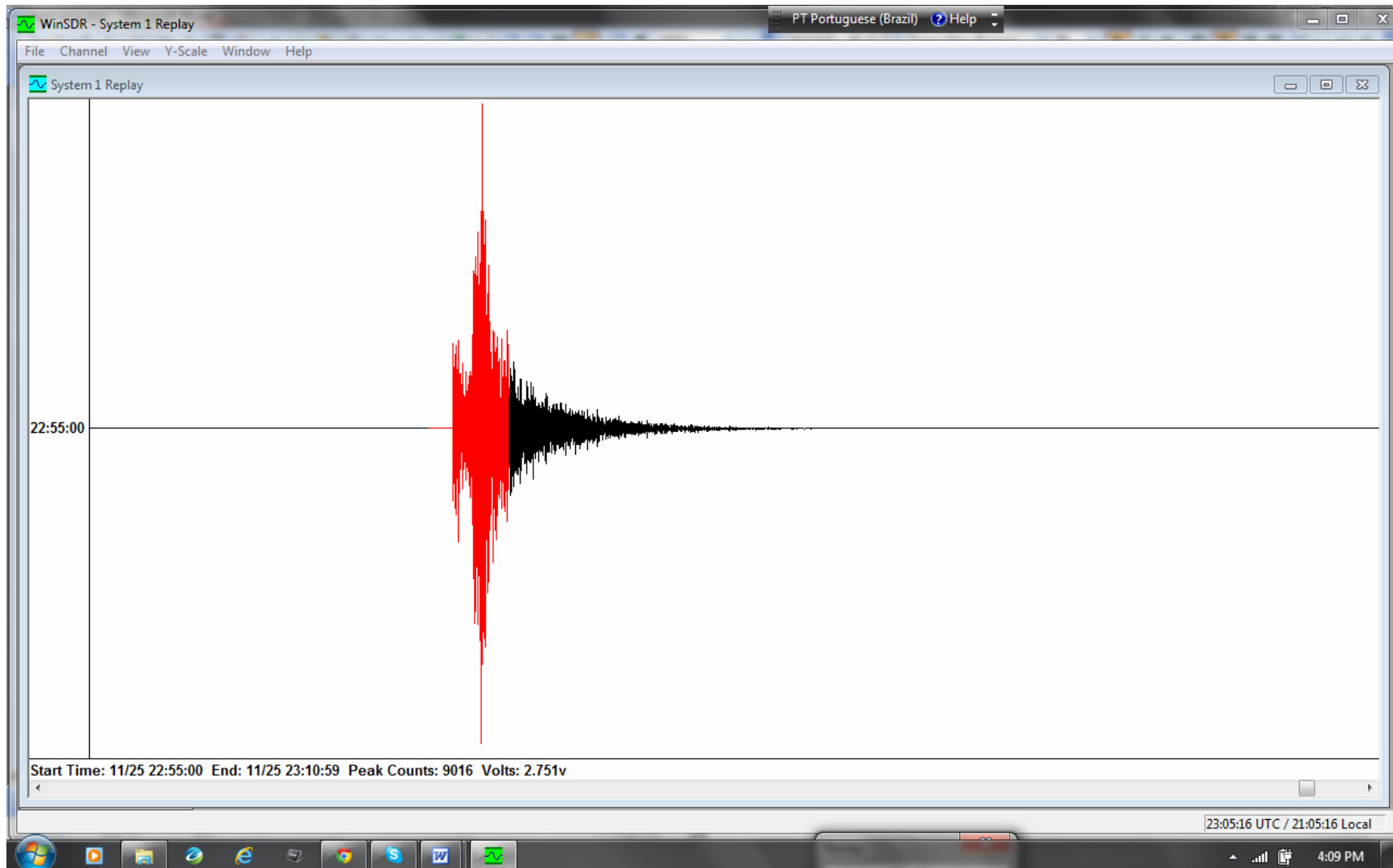
Sismo Regional: 11 de Agosto de 2013 14:53:54 -8.319 -50.243 Prof.15.6km Mag 4.0 (SSW de Redenção, Estado do Pará).

Sismo Regional Registrado em Novembro de 2012:

Sismo de Ariquemes, RO

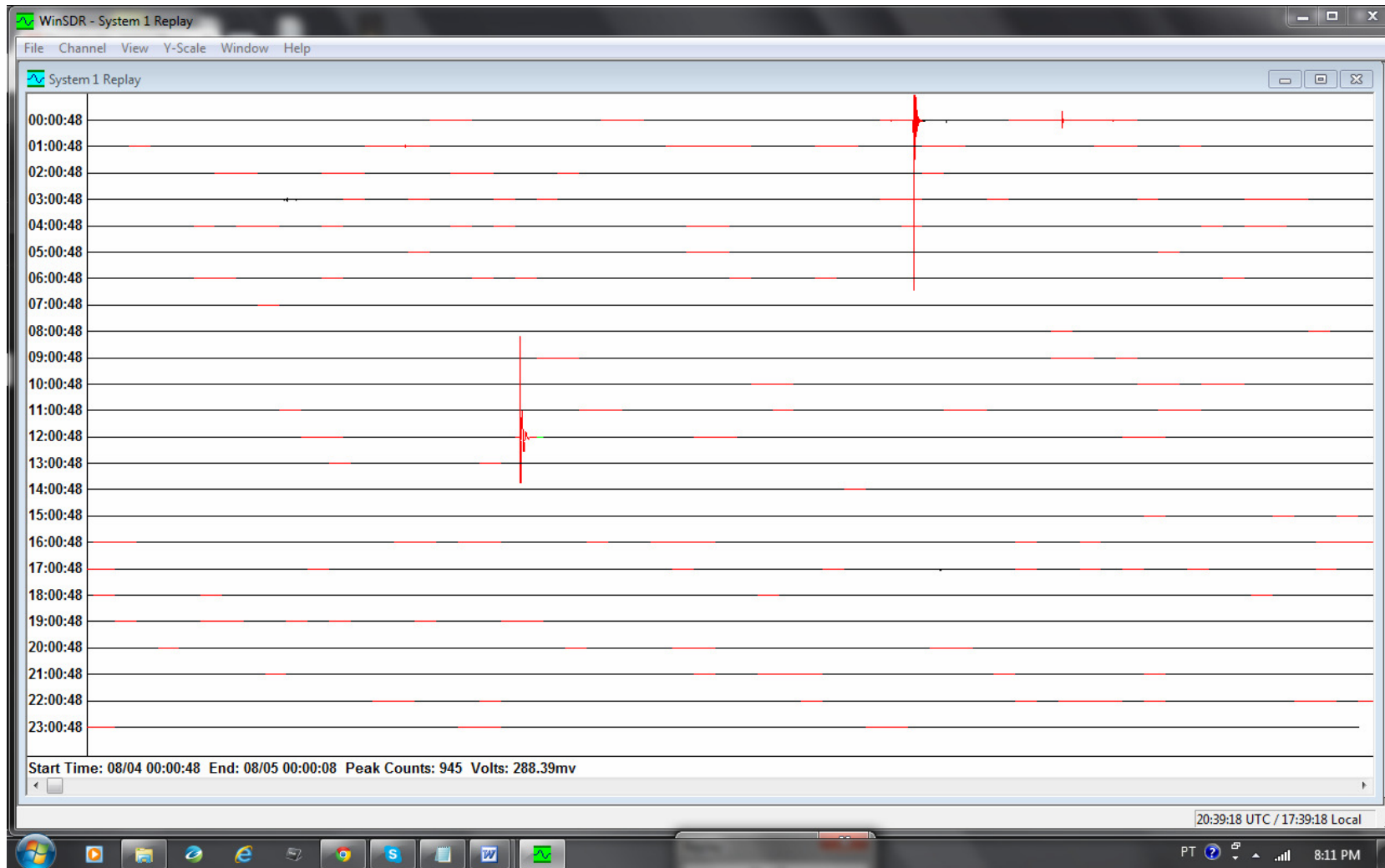


Registro da estação da UHE Santo Antônio (SANT1) – 25 de Novembro de 2012 – horário GMT – componentes Z, N e E.

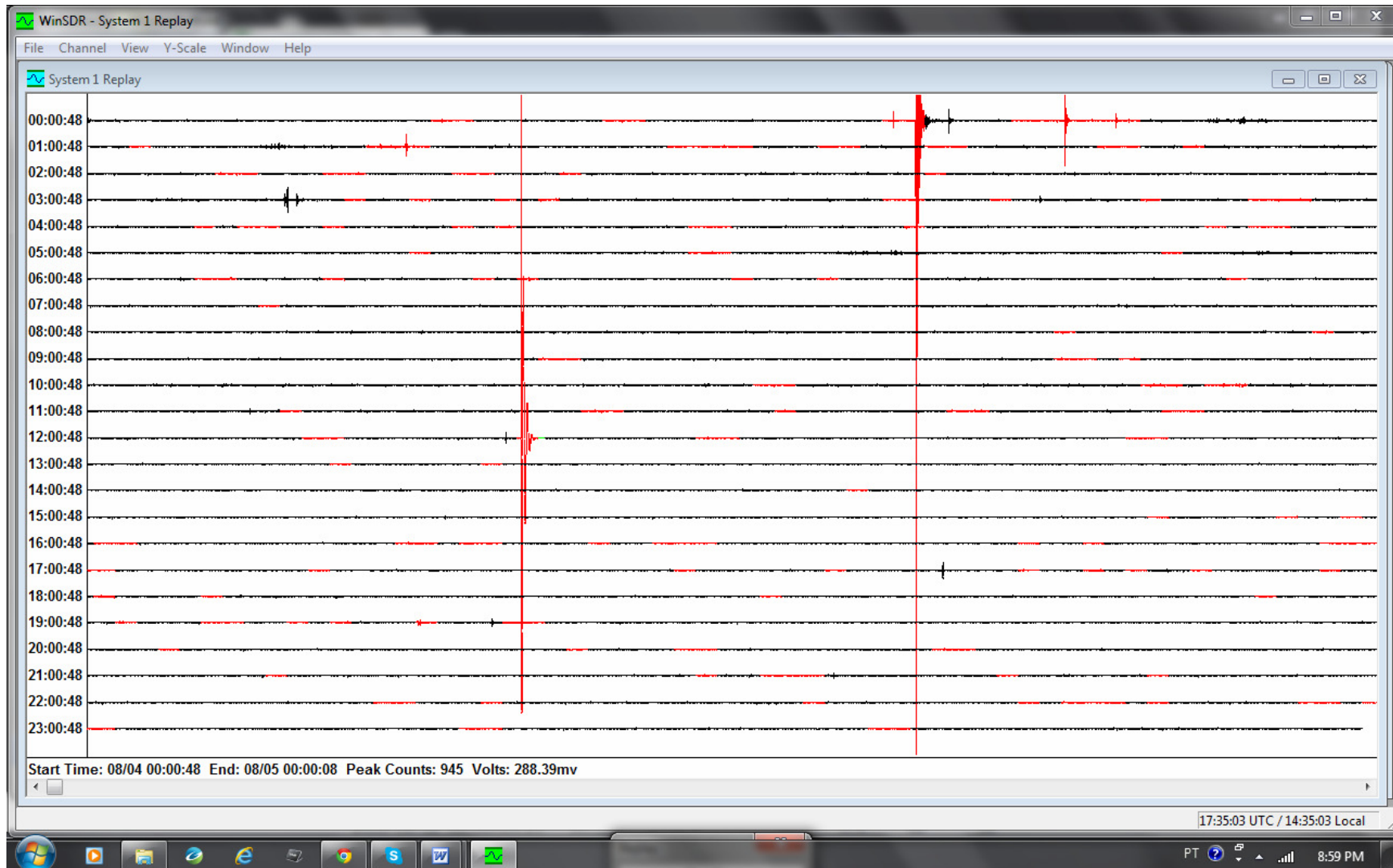


Registro da estação SANT2 – componente Z (sismograma filtrado usando-se o filtro high-pass acima de 0.1 Hz).

Sismos Locais Registrados em Agosto de 2013



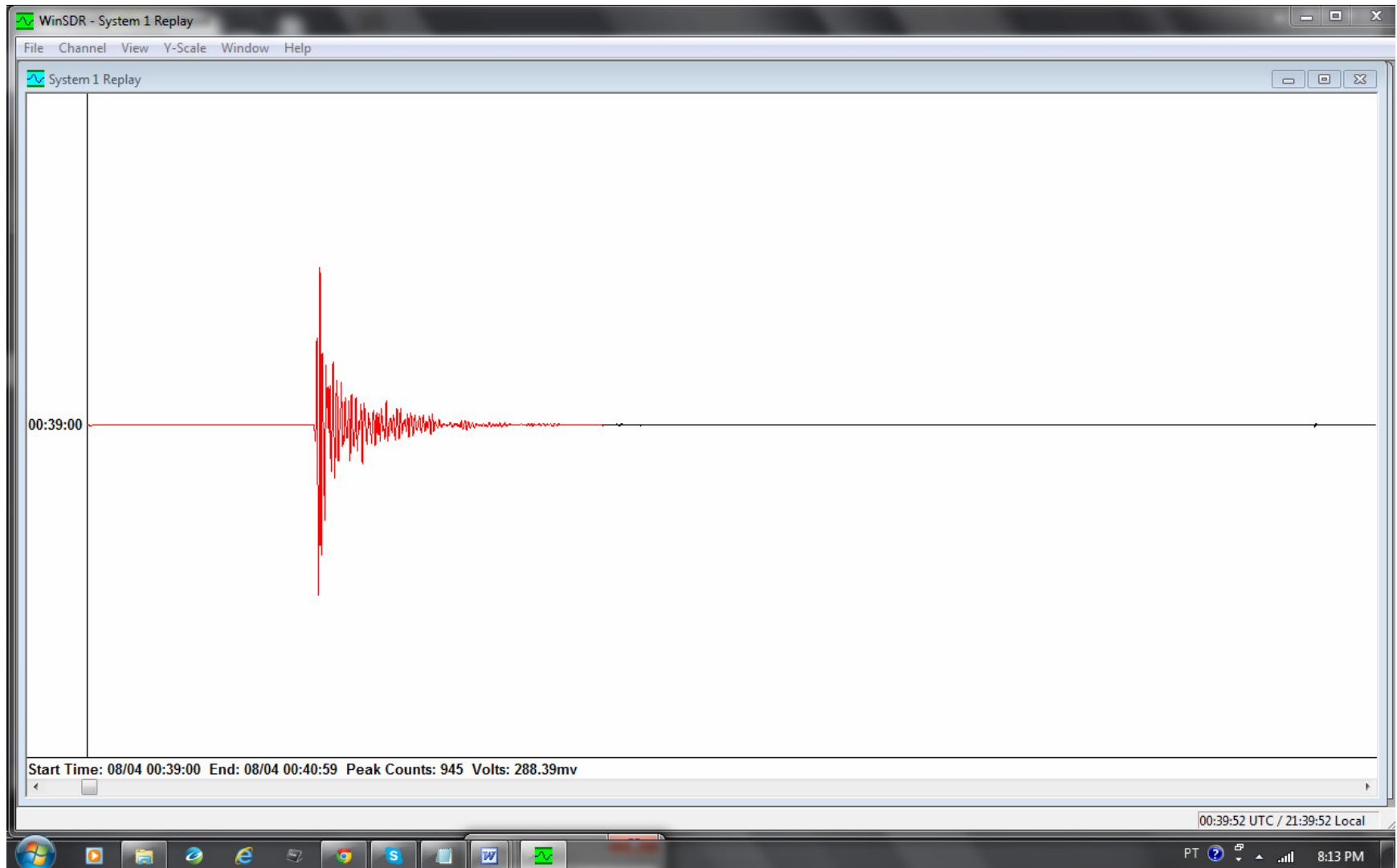
Sismograma filtrado do dia 04 de Agosto (bandpass entre 0.1 e 2 Hz). Nota-se o evento principal, às 00:39 e o terceiro evento, às 00:47 GMT.



Mesmo sismograma, com o mesmo filtro band-pass aplicado, com o emprego de magnificação mais alta.

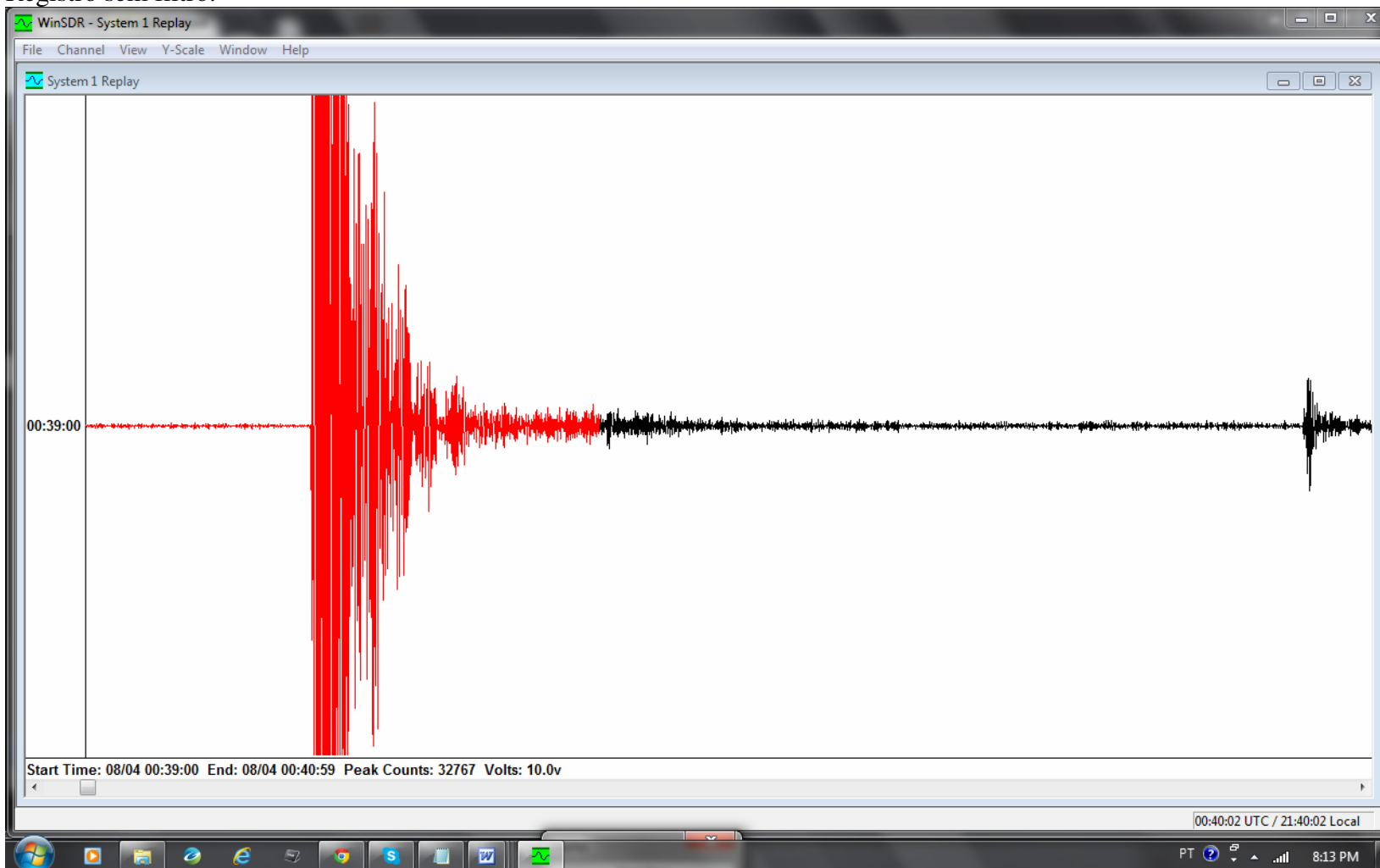


Sismograma filtrado do dia 04 de Agosto (bandpass entre 0.1 e 2 Hz). Nota-se o evento principal, às 00:39 GMT.



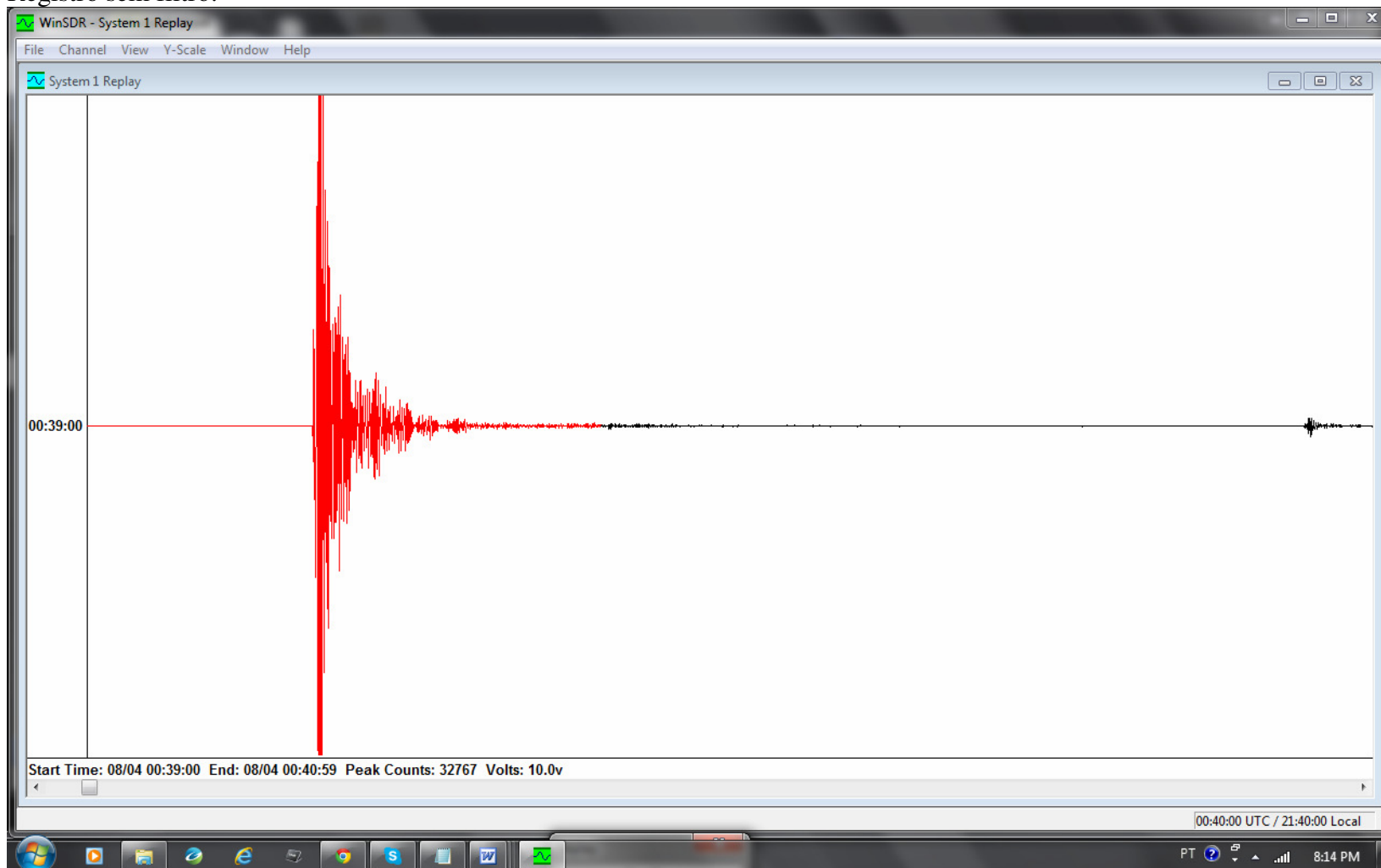
Sismograma filtrado do dia 04 de Agosto (bandpass entre 0.1 e 2 Hz). Nota-se o evento principal, às 00:39 GMT.

Registro sem filtro:

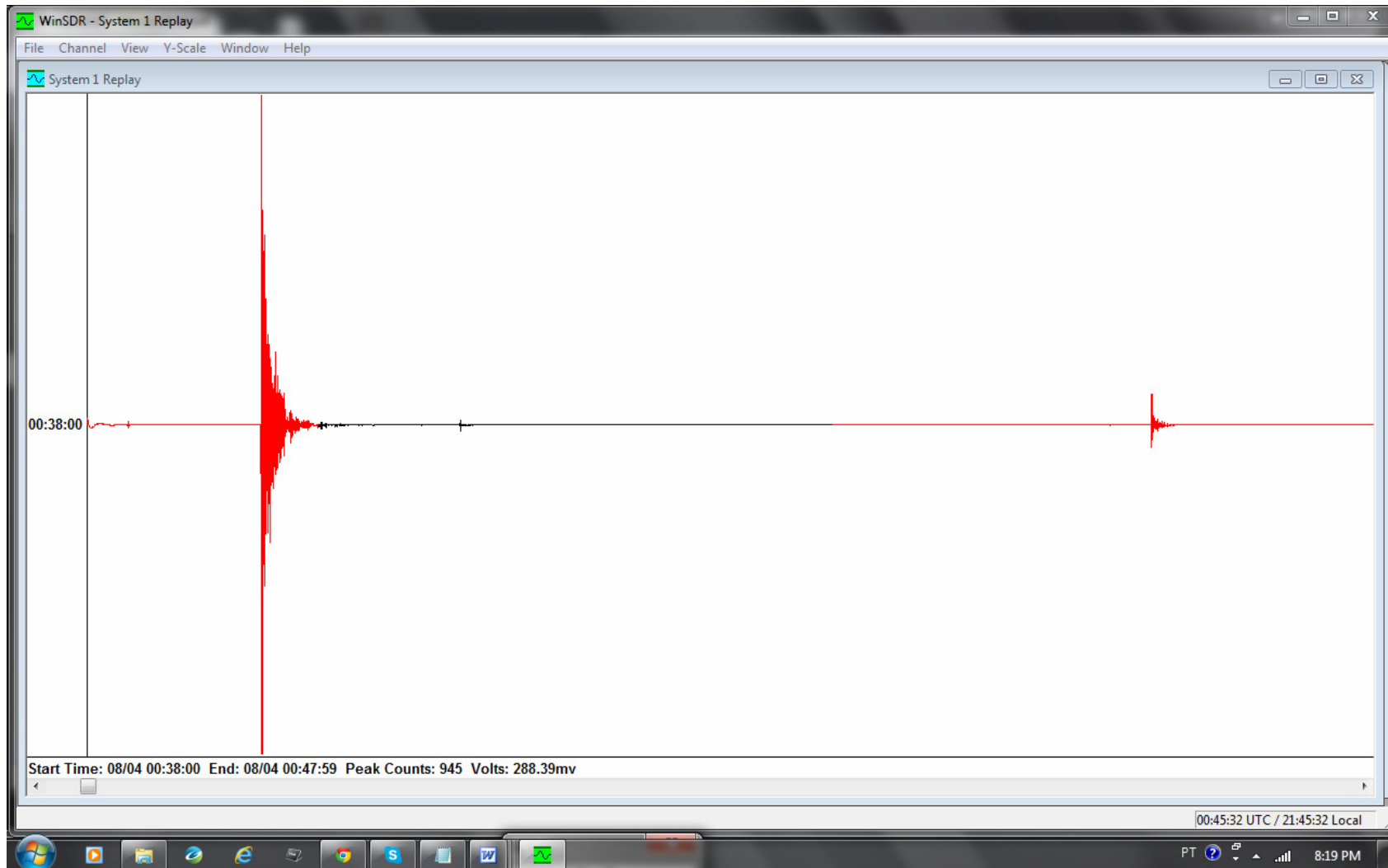


Sismograma filtrado do dia 04 de Agosto (bandpass entre 0.1 e 2 Hz). Nota-se o evento principal, às 00:39 GMT e o segundo evento, bem menor, não-detectado pelo trigger, registrado às 00:40 GMT.

Registro sem filtro:



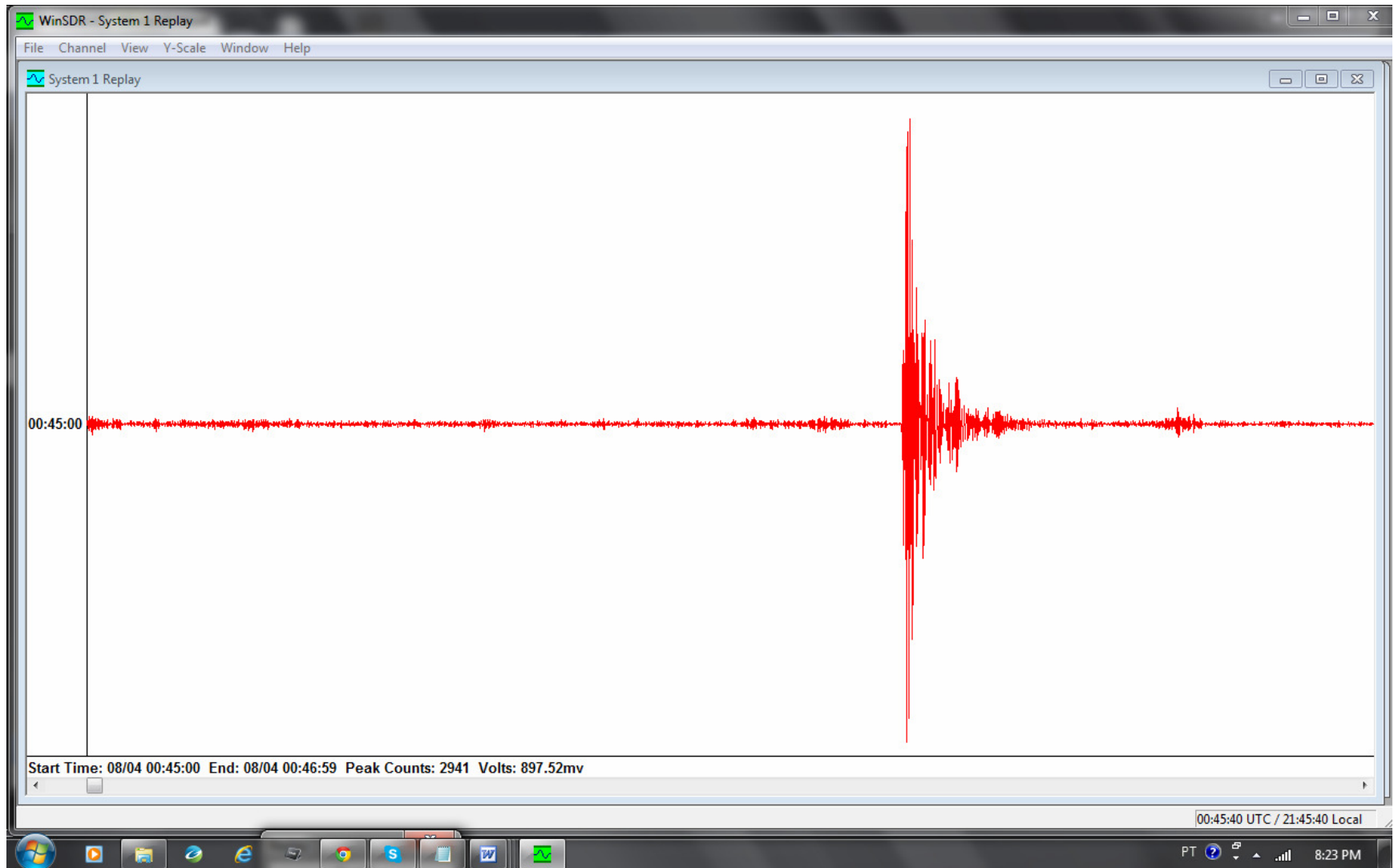
Sismograma não-filtrado do dia 04 de Agosto (bandpass entre 0.1 e 2 Hz). Nota-se o evento principal, às 00:39 GMT e o segundo evento, bem menor, não-detectado pelo trigger, registrado às 00:40 GMT.



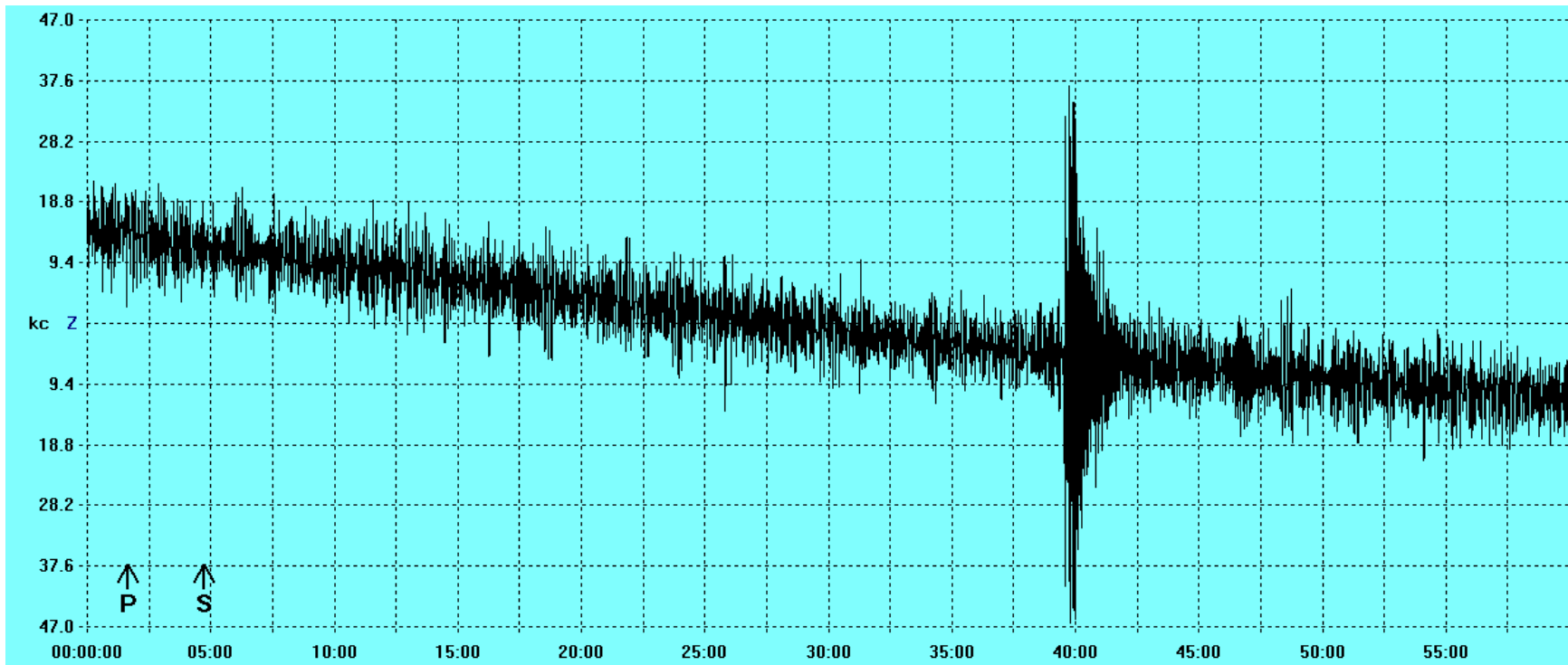
Sismograma filtrado do dia 04 de Agosto (bandpass entre 0.1 e 2 Hz). Nota-se o evento principal, às 00:39 GMT e o segundo evento, bem menor, não-detectado pelo trigger, registrado às 00:40 GMT. Terceiro evento, detectado pelo trigger, registrado às 00:47 GMT.

Segundo evento (sismograma sem filtro):



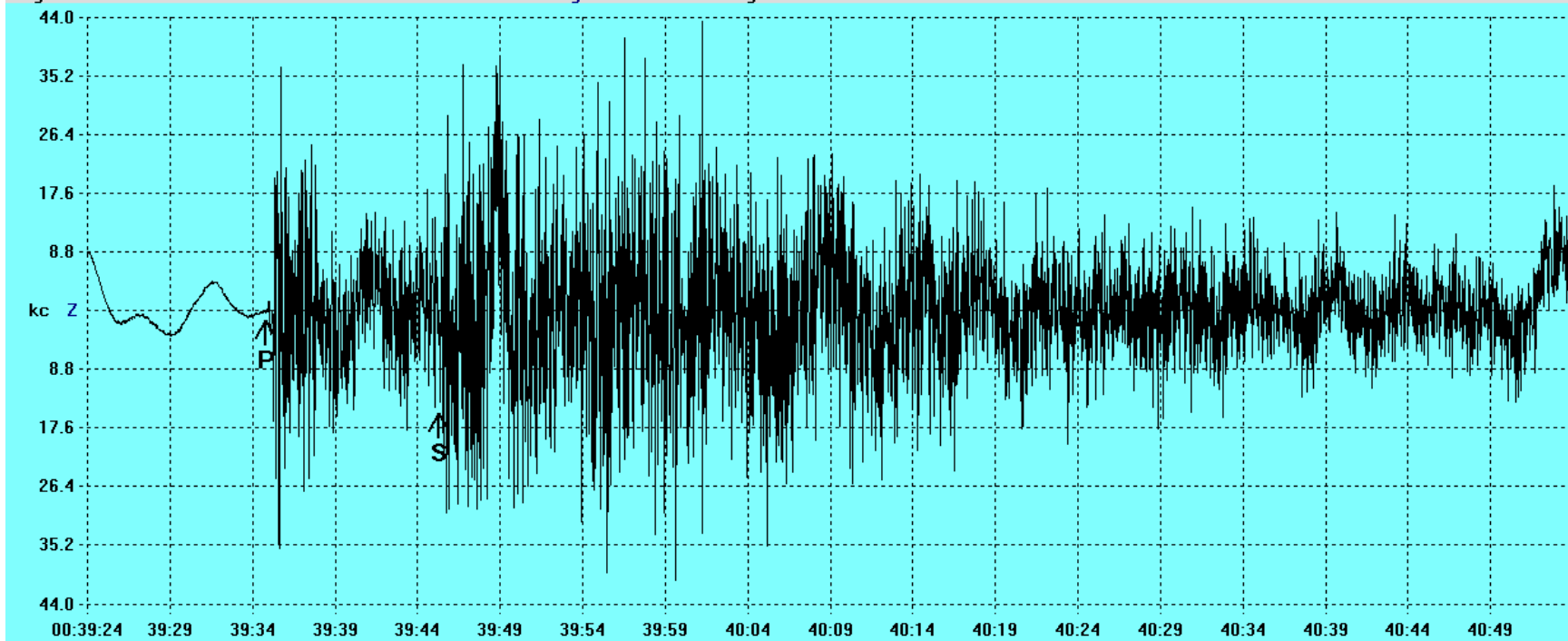


Terceiro evento (sismograma sem filtro aplicado).



Registro dos eventos locais ocorridos em 04 de Agosto, da estação SAML (sismograma não filtrado).

Start: 8/04/13 0:00:00 UTC Station: SAML 8.9489S 63.1831W Samples: 144000 SPS: 39.999999
Max/Min: 43324/-40466 X: 1:30.0 Y: 44kc
Org: 0:39:20.6 P: 0:39:34.8 S: 0:39:45.3 Diff: 10.5sec Dist: 0.717deg 79.8km 49.6mi Mag: MI?? JB: 33



Registro da estação SAML (filtrado com filtro high-pass acima de 0.1 Hz), com identificação das fases P e S correspondentes. O registro mostra o sismo principal, com epicentro a aproximadamente 79.8 km de distância da estação SAML. O registro de SAML para os outros dois sismos locais identificados pela estação SANTI não têm amplitude significativa para identificação das fases de onda usadas no sismograma acima.